

NEUTRONOVÉ SPEKTROMETRY

/ se zřetelem pro střední energie /.

Ing. Jiří Kroupa

Práce podává přehled o neutronových spektrometrech různých soustav, používaných pro pomalé a střední neutrony. Podrobněji je přihlédnuto k měření v rozsahu energií 1 keV až 100 keV. Zdůrazňuje se výhody metody se svazkem monoenergetických neutronů a je uvedena možná varianta těhoto způsobu. Pojednává se o přednostech průletového spektrometru s elektrostatickým generátorem pro uvedený energetický rozsah.

OBSAH

|   | Str. |
|---|------|
| <b>1. ÚVOD :</b>  | 3    |
| <b>2. NEUTRONOVÁ SPEKTROMETRIE</b>                                  | 3    |
| <b>3. VZÁJEMNÉ PŮSOBENÍ NEUTRONŮ S LÁTKOU</b>                       | 3    |
| Zachycení neutronu při velkých energiích . . . . .                  | 5    |
| Absorpce a rozptyl pomalých a středních neutronů . . . . .          | 6    |
| <b>4. EXPERIMENTÁLNÍ MÉTHODY PRO MĚŘENÍ ÚC. PRŮREZŮ NEUTRONŮ</b>    | 6    |
| Systematické rozdělení neutron. spektrometrů . . . . .              | 8    |
| <b>5. MĚŘENÍ ÚC. PRŮREZŮ MONOENERG. NEUTRONY Z JÁDROVÝCH REAKcí</b> | 9    |
| 5.1 Zdroje neutronů . . . . .                                       | 9    |
| 5.2 Různe energie . . . . .   | 10   |
| 5.3 Instalace v laboratoři . . . . .                                | 10   |
| 5.4 Měření středních energií . . . . .                              | 11   |
| <b>6. SELEKCE ZE SPOJITÉHO SPEKTRA</b>                              | 11   |
| 6.1 Prostorový rozklad - krystal, monochromátor . . . . .           | 12   |
| 6.2 Časový rozklad . . . . .  | 13   |
| 6.21 Spektrometry s mech. selektorem . . . . .                      | 16   |
| 6.211 Pomalé selektory . . . . .                                    | 16   |
| 6.212 Rychlé selektory . . . . .                                    | 17   |
| 6.22 Spektrometry s urýchlovači . . . . .                           | 19   |
| 6.221 Spektrometry s nuceně puls. urýchlovači . . . . .             | 21   |
| 1. Puls. cyklotron . . . . .  | 21   |
| 2. Puls. transformátor . . . . .                                    | 22   |
| 3. Puls. Van de Graaff. generátor . . . . .                         | 22   |
| 4. Puls. kaskádní generátor . . . . .                               | 23   |
| 6.222 Spektrometry s přirozeně puls. urýchlovači . . . . .          | 23   |
| 1. Synchrocyclotron . . . . .                                       | 23   |
| 2. Betatron . . . . .   | 24   |
| 3. Lin. vf urýchlovač elektronů . . . . .                           | 24   |
| 6.223 Spektrometry, založené na měření doby k zpomalení . . . . .   | 26   |
| 6.24 Časové analysátory pro průletové spektrometry . . . . .        | 26   |
| 6.241 Čas. analysátory se styčnými kanály . . . . .                 | 27   |
| 6.242 Čas. analysátory v maticovém uspořádání . . . . .             | 27   |
| 6.243 Čas. analysátory, užívající paměť . . . . .                   | 29   |
| /a/ S obrazovkovou pamětí . . . . .                                 | 29   |
| /b/ S akust. zpožd. vedením . . . . .                               | 30   |
| /c/ S mag. jádrovou pamětí . . . . .                                | 30   |
| /d/ S kombinací obraz. a mag. bubnové paměti . . . . .              | 31   |
| /e/ S časovým expanderem . . . . .                                  | 31   |
| 6.244 Čas. analysátory s konverzí času na amplitudu . . . . .       | 32   |
| 6.25 Detektory neutronů pro průletovou metodu . . . . .             | 32   |
| 6.251 Plynové detektory . . . . .                                   | 33   |
| 6.252 Scintilační detektory . . . . .                               | 33   |
| 1. Oddělený radiátor a detektor . . . . .                           | 33   |
| 2. Zachycení i detekce v jednom prostředí . . . . .                 | 33   |
| /a/ Kapalin. scintil. detektor . . . . .                            | 33   |
| /b/ S těhým scintillátorem . . . . .                                | 34   |
| /c/ Se vzácnými plyny . . . . .                                     | 34   |
| <b>7. ZÁVĚR</b> . . . . .   | 35   |
| Literatura . . . . .  | 36   |

## 1. ÚVOD

Podrobná znalost účinných průřezů pro reakce vyvolané neutrony, je dáná dle ležitosti těchto reakcí v čisté i užité fysice a v technice. Pro výrobu nových jader ostřelováním neutrony, je nutné znát úč. průřezy pro absorpcí reakce  $n,\gamma$ . Dosažení řetězové reakce a konstrukce jaderného reaktoru závisí na hodnotách úč. průřezů pro absorpcí a štěpení u štěptelných hmot a na úč. průřezech absorpcie a rozptýlu moderátorů a konstrukčních hmot. Použití experimentálních údajů o neutronových úč. průřezech vyžaduje výkladu metod, používaných pro měření úč. průřezů, výsledků měření a moží těchto metod.

## 2. NEUTRONOVÁ SPEKTROMETRIE

Je obvyklé vyjadřovat pravděpodobnost, že nastane daný typ vzáj. působení zdánlivou plochou terče /nebo-li úč. průřezem/, který představuje jádro pro naletující částici /zde neutron/. Vytvoření souboru úč. průřezů vadí jednak ta okolnost, že dané jádro má různý úč. průřez pro každý druh reakce, jednak to, že každý úč. průřez se může měnit s energií neutronu. Úhrnným úč. průřezem nazýváme součet dříčských průřezů pro reakci a dříčských průřezů pro rozptýl. Ačkoliv je úhrnný úč. průřez nejsnadnější pro měření, nedá vždy dostatek informací a často jsou potřebná měření různých dříčských úč. průřezů /1,2/.

Můžeme definovat neutronovou spektrometrii jako zkoumání průběhu vzáj. působení neutronů s jádry prvků v závislosti na energii.

Protože žádný theoretický popis nemohl dát kvantitativní údaje o vzáj. působení určitých isotopů s neutrony, jsou zdrojem těchto údajů experimentální výsledky. Tyto údaje jsou důležité nejen s hlediska určení chování neutronů v prostředí, které obsahuje daný prvek, ale i s hlediska určení vlastnosti jader, protože dovolují určit polohy hladin jádra, šířky hladin a tím i doby života jader v příslušných nabuzených stavech a těž i kvantové charakteristiky těchto stavů. Proto praxe i teorie mají veliký zájem na experimentálném studiu závislosti průřezu vzáj. působení neutronů s jádry.

Pro další práci je užitečné provést rozdělení energetické stupnice a nazvat neutrony v určitém rozsahu energií jménem. V této práci bude užito tohoto rozdělení:

| 0,01    | 0,1    | 1      | 10     | $10^2$ | 1keV | $10^3$  | $10^4$ | $10^5$ keV | $10^6$ | $10^7$ |
|---------|--------|--------|--------|--------|------|---------|--------|------------|--------|--------|
| tepliné | ponalé | ponalé | ponalé |        |      | střední |        |            | rychlé |        |

Podle toho neutronům s energií od 1 keV do 100 keV přísluší název "střední".

Při středních energiích neutronů, které nás hlavně zajímají, je málo kdy možné získat nezávisle úč. průřezy pro dříč řeje a ve většině prací, jak bude dále popsáno, byl získán jejich součet, t.j. úhrnný úč. průřez /18/.

## 3. VZÁJEMNÉ PŮSOBENÍ NEUTRONŮ S LÁTKOU

Pro ujasnění toho, které procesy nastávají při různých energiích, bude

podán krátký přehled vzáj. působení neutronů s látkou /2/.

Srážka neutronu s jádrem má za následek buď:  
prosté odchýlení neutronu v poli jader. sil od původního směru pohybu, nebo  
zachycení neutronu jádrem.

První případ se obyčejně nazývá potenciální rozptyl. Protože jader. sily mají povahu přitahování, je možné i zachycení neutronu jádrem s vytvořením složeného jádra. Přechod složeného jádra do nižšího energ. stavu může nastat buď: vysláním záření gamma, nebo rozpadem s vysláním libovol. částic, zejména protonů, neutronů, částic alfa, nebo ještě těžších odštěpků jádra.

Zachycení neutronu, doprovázené vysláním záření gamma, nazveme radiačním zachycením. Zachycení neutronu, provázené emisí nějaké částice, je jádrová reakce. Je-li vyslanou částicí neutron, jde vlastně o rozptyl, který se však liší od potenciálního tím, že je spojen s mezičasem složeného jádra. Zůstane-li výsledné jádro v nenabuzeném stavu, nazývá se rozptyl pružný. Je-li výsledné jádro nabuzené, nazývá se nepružný /část kinet. energie neutronu se vydá na nabuzené jádro/. S hlediska dynamiky můžeme rozlišovat rozptyl pružný a nepružný. S hlediska mechanismu rozptylu lze rozlišovat potenciální rozptyl a rozptyl resonanční, t.j. spojený s mezičasem složeného jádra.

Z uvedeného plyne, že srážka neutronu s jádrem může vést k jednomu z těchto procesů:

pružný rozptyl - potenciální a resonanční / n,n / ,

nepružný rozptyl - / n,nf / ,

rozpad s emisí nabitých částic - / n,p / , / n,α / , / α,jd / ,

štěpení jádra - / n,f / ,

radiační zachycení - / n,γ / .

Začneme se tedy krátce o jednotlivých procesech v závislosti na energii.

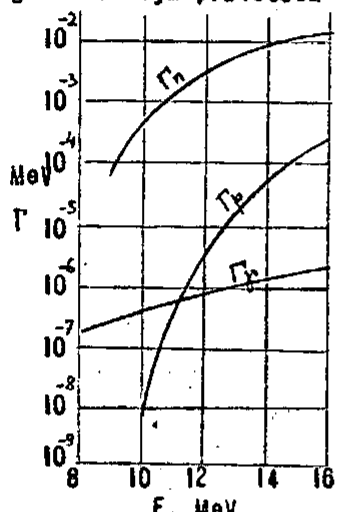
Pružný rozptyl: Zmenšení energie při pružném rozptylu je veliké, zvláště pro lehká jádra, t.j. hmotou blízká hmotě neutronu a pro velké úhly rozptylu. Charakter působících sil se neprojeví na rozložení energie mezi neutron a jádro, ale projeví se na pravděpodobnosti srážky. Teorie rozptylu se zabývá výběrem potenciálu vzáj. působení podle experimentálně nalezeného diferenc. úč. průřezu.

Resonanční rozptyl: Resonanční rozptyl pozorujeme tehdy, je-li energie neutronu blízká jedné z hodnot, které přísluší k vlastnostem jádra. S růstem energie neutronu klesá úloha res. jevů, protože vzdálenost mezi hladinami složeného jádra se zmenšuje a šíře hladin roste. Energetické podmínky pro vyslání neutronu složeným jádrem jsou spinány při libovolné energii zachyceného neutronu. Protože, mimoto, pro neutron neexistuje potenciálový val, bude vyslání neutronu v důsledku jeho zachycení, t.j. resonanční rozptyl, velmi pravděpodobným procesem při libovolné energii neutronu.

Nepružný rozptyl: Totéž neplatí o nepružném rozptylu, kdy se část kinetické energie neutronu ztrácí na vzbuzení rozptylujícího jádra. Nepružný rozptyl je analogický endothermické reakci, a jako tato, má určitý prah. Nepružný rozptyl neutronů bude tedy pozorovatelný na těžkých jádrech při energiích neutronu, přesahujících několik set keV a na lehkých jádrech při energiích nad jeden nebo několik MeV.

Zachycení neutronu s následujícím vysláním nabitych částic, zvláště protonu a částice alfa: Pravděpodobnost této reakce je malá. Je omezena průsvitností valu. Protože výška potenciálového valu je přibližně úměrná  $Z^3$ , je tento proces obtížnější pro těžší jádra. Pro střední rozsah energií neutronů se reakce  $(n,p)$  a  $(n,\alpha)$  pozoruje jen u malého počtu lehkých jader.

**Radiační zachycení:** Je možné při libovolné energii, ale je málo pravděpodobné. Vzájemné působení jader se zářením je slabé v důsledku jejich velké hmoty. Tím je doba života jader vzhledem k zářením poměrně veliká - jádro s větší pravděpodobností vyšle částici, jestli to možné, než kvant gamma. Avšak vyslání částice je možné jen tehdy, jestli energie nabuzené větší, než vazební energie částice. Nemusí tato podmínka splněna, zůstane radiační proces jedině možným; proto je záření gamma častým průvodcem různých jaderných procesů. Na vedlejším diagramu (2) je



zobrazena pravděpodobnost různých přechodů nabuzeného jádra. Na osi úseček je energie přinášená zachyceným neutronem /vazbová energie neutronu je  $8 \text{ MeV}^2$ . Na osi pořadnic je v logaritmickém měřítku parciální šířka  $\Gamma_n$ ,  $\Gamma_p$ ,  $\Gamma_\alpha$ . V celém intervalu energií je neutronová šířka znacně větší, než ostatní; tudíž vyslání neutronu /rozptyl/ je nejpravděpodobnější. Jen při energiích blízkých k  $8 \text{ MeV}$ , t.j. odpovídajících zachycení pomalého neutronu, klesá  $\Gamma_n$  prudce se zmenšováním energie  $|\sim E_n|$  a v této oblasti může být rádově stejná, jako radiační šířka  $\Gamma_p$ . Tedy radiační zachycení je stejně pravděpodobné jako rozptyl jen při malých energetických neutronů. Protonová šířka je všeude hodně menší než neutronová.

**Štěpení:** Zachycení neutronu, provázené štěpením se prakticky pozoruje jen pro nejtěžší jádra. Ačkoliv je štěpení exothermický proces pro jádra s  $A > 100$ , bráni rozletu odštěpků potenciálový val. Jen pro některá nejtěžší jádra s nízkou energií aktivace je zachycení se štěpením velmi pravděpodobným procesem, který je na úrovni s pružným a nepružným rozptylem a s radiačním zachycením neutronu.

### Zachycení neutronu při velkých energiích.

Průřez zachycení neutronu při velké energii se blíží geometrickému průřezu  $\pi R^2$ . Nejpravděpodobnějším procesem přechodu složeného jádra do nižšího energetického stavu po zachycení rychlého neutronu je vyslání neutronu, t.j. rozptyl. Avšak zde bude spíše nepružný než pružný a to z těchto důvodů:

při pružném rozptyle lze jádro přejít jen do jednoho stavu - základního kdežto u nepružného zůstane jádro na libovolné hladině, jejichž počet je  $\gg 1$ . Tedy statisticky je takový rozptyl pravděpodobnější,

ve složeném jádru je energie nabuzená rozložena mezi mnoha částic. Pro pružný rozptyl je nutné, aby se celá energie nabuzená soustředila na jeden neutron. Toto není nutné při nepružném rozptyle.

A tak se pro rychlé neutrony proces zachycení mění na nepružný rozptyl, jehož účinný průřez je přibližně roven geometrickému. Se zmenšováním energie neutronu roste pružný rozptyl na úkor nepružného.

### Absorpce a rozptyl pomalých a středních neutronů.

Závislost průřezu zachycení jmenovaných neutronů na energii má následující průběh: V oblasti energií, vzdálených od reson. hodnot, ubývá průřezu s růstem  $E$  podle zákona  $1/v$ , při čemž jeho hodnota závisí na poloze a šířce blízkých res. hladin. V oblasti resonance se pozoruje ostré maximum průřezu zachycení. V této oblasti platí pro průřez známý Breit - Wignerův vzorec. Počet maxim odpovídá počtu reson. hladin složeného jádra.

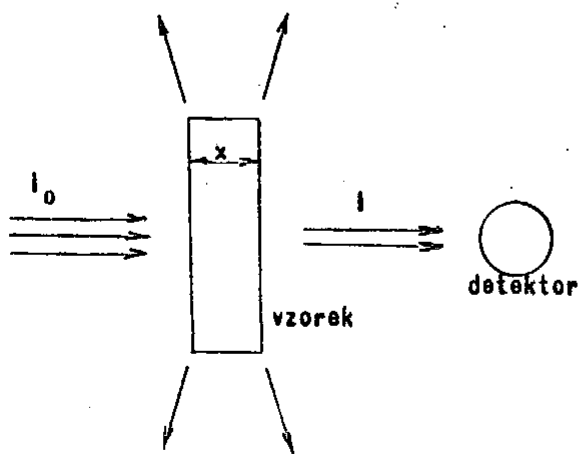
Pro většinu jader jsou prakticky možné ze všech procesů vzájemných působení s pomalými a středními neutrony jen radiační zachycení a pružný rozptyl. Procesy zachycení pomalých neutronů, spojené s tvořením složeného jádra mají ostře vyjádřený reson. charakter, protože šířka hladin složených jader je při energetických, blízkých vazbových energiích neutronu, malá proti jejich vzdálenostem. Úhrnná šířka hladiny  $\Gamma$  se v daném případě skládá z radiační šířky  $\Gamma_r$  a neutronové šířky  $\Gamma_n$ . Radiační šířka je dosti malá, protože vysílaní záření gamma těžšími jádry je málo pravděpodobné a doby života jader vzhledem k tomuto procesu jsou veliké. Neutronová šířka je při malých energetických neutronu úměrná jeho rychlosti, kdežto radiační šířka skoro nezávisí na rychlosti a tak pro energie kolem 100 eV je  $\Gamma_n > \Gamma_r$ , kdežto pro energie kolem 10 eV je  $\Gamma_n < \Gamma_r$ . Resonanční průběh úhrnného průřezu vzájemných působení neutronů s energiemi nad 100 eV může být přičítán reson. rozptylu a příspěvek absorpcie k úhrnnému průřezu může být zanedbat.

A tak můžeme shrnout, že pro neutrony střední energie je závislost průřezu rozptylu na energii neutronu určena prakticky jednoduchými experimenty s oslabením svazku neutronů, které dávají v principu jen úhrnný průřez [2, 18].

### 4. EXPERIMENTÁLNÍ METODY PRO MĚŘENÍ ÚČ. PRŮŘEZŮ NEUTRONŮ

Budou uvedeny jenom všeobecné principy měření úč. průřezů. Rovnice pro vyčíslení úč. průřezů z experimentálních údajů zůstávají stejné bez ohledu na tu kterou konkrétní metodou.

Principiální schéma metody pro měření oslabení svazku neutronů je na obrázku.



Nachází je intenzita svazku neutronů bez studovaného vzorku rovna  $I_0$ . Je-li ve svazku umístěn vzorek, pak každý neutron, který se srazil s jádrem atomu vzorku bude ze svazku odebrán buď vlivem absorpcie nebo rozptylu. Intenzita svazku pak bude menší - označme ji  $I$ . Pravděpodobnost srážky neutronu s jádrem ve vrstvě o tloušťce  $dx$ , bude  $n\delta dx$ , kde  $n$  je počet jader v jednotce objemu vzorku,  $\delta$  je úč. průřez srážky,  $dx$  je tloušťka vrstvy ve směru svazku. Je-li intenzita svazku, dopadajícího na vrstvu  $dx$ , rovna  $I$ , pak bude zeslabení svazku - díl při průchodu

Nachází je intenzita svazku neutronů bez studovaného vzorku rovna  $I_0$ . Je-li ve svazku umístěn vzorek, pak každý neutron, který se srazil s jádrem atomu vzorku bude ze svazku odebrán buď vlivem absorpcie nebo rozptylu. Intenzita svazku pak bude menší - označme ji  $I$ . Pravděpodobnost srážky neutronu s jádrem ve vrstvě o tloušťce  $dx$ , bude  $n\delta dx$ , kde  $n$  je počet jader v jednotce objemu vzorku,  $\delta$  je úč. průřez srážky,  $dx$  je tloušťka vrstvy ve směru svazku. Je-li intenzita svazku, dopadajícího na vrstvu  $dx$ , rovna  $I$ , pak bude zeslabení svazku - díl při průchodu

vrstvou rovnou

$$-di = I \cdot n \cdot \delta dx .$$

Integrací této rovnice a položením  $I=I_0$  pro  $x=0$ , dostaneme:

$$I = I_0 e^{-nx}$$

Z toho je :

$$\delta = \frac{1}{nx} \ln \frac{I_0}{I} = -\frac{1}{nx} \ln \frac{1}{T_0} = -\frac{1}{nx} \ln T .$$

Veličinu  $T = \frac{1}{T_0} = e^{-nx}$ , rovnou poměru intenzit svazku prošlého vzorkem ku počá-

teční Intensitě/bez vzorku ve svazku/, nazívame "propustnost" vzorku pro svazek neutronů. Protože nyní  $n$  známe / hustota látky dělená hmotou atomu/, tloušťku  $x$  můžeme začít, zbyvá pro určení  $\delta$  najít jen propustnost. K tomu je nutné provést dvě měření - měření  $I_0$  /bez vzorku/ a měření  $I$  /se vzorkem ve svazku/. Takto určený úč.průřez je v principu součet průřezů pro zachycení a rozptyl, t.j. úhrnný úč.průřez:

$$\delta_t = \delta_a + \delta_s .$$

Tuto metodou tedy nerozlišme zachycení a rozptyl. V případě středních energií je však možno položit úhrnný průřez rovný průřezu pro rozptyl. Určení úhr.úč. průřezu měřením propustnosti je možno provést velmi přesně, protože je důležitý pouze poměr četností. Není zapotřebí znát absolutní účinnost detektoru.

Pro oddělené stanovení úč.průřezu zachycení je zapotřebí jiných metod. Je-li zachycení provázeno vysíláním nabitéch částic, pak počet zachycených je možno určit podle počtu vytvořených protonů nebo částic alfa, které v tomto případě musí být registrovány během ozařování vzorku neutrony. Pro měření průřezu radiačního zachycení můžeme vzorek ozářit a pak měřit jeho aktivitu. Podle toho se tento průřez nazývá často "průřezem aktivace".

Užijeme-li metody zeslabení svazku s monochromatickými neutrony pro měnné energie, je možno studovat závislost průřezu na energii neutronu. Ke stanovení uvedené závislosti je tedy nutný svazek neutronů s říditelnou energií. Celá další práce je prováděna s hlediska možných způsobů, kterými lze získat svazky monochromatických neutronů. Metody pro získání takových svazků můžeme v zásadě rozdělit na dvě skupiny:

1. získání monoenerget. neutronů přímo ze zdroje neutronů, kterým jsou jádrové reakce. Minimální energie neutronů, takto vyrobených, o upotřebitelné energii je prakticky řádu keV,

2. získání monoenerg. neutronů vybráním - selekcí - jednotlivých energetických skupin neutronů ze spojitého spektra. Spojité spektrum pak vznikne zpomalením rychlých neutronů, které získáme různými způsoby. Podle toho, na základu čeho je prováděna tato selekce, můžeme tuto metodu dělit dále.

Zejména v oboru selekce jednotlivých monoenerget. skupin ze spojitého spektra zpomalených neutronů bylo vypracováno mnoho metod studia vztahů působení pomalých - a nověji i středních - neutronů s látkou. Příslušným přístrojům pro tuto selekci můžeme dát název "neutronové selektory".

Systematické rozdělení neutronových spektrometrů v přehledném tváru je na následující stránce. Detailnější metody budou popsány v přehledu, který pak následuje.

## Neutronové spektrometry

monoenergetický neutron  
z jádrových reakcí

selektce monoenergetických neutronů ze spojitého spektra

prostorový rozklad  
"krystalmonochronátor"

časový rozklad  
"průletový spektrometr"

mech. plíterušování  
plynulého svazku  
"mech. selektory"

impulsové ostřílení terče  
spektrometry s puls. urychlovateli

ponale rychlé

nucené puls. urychlovate

příroz. puls. urychlovate

v.o.n.trafor cyklotron elektro- kaskádní synchro- betatron lineární  
statický generátor cyklotron v. f. urychlit. elektron

## 5. MĚŘENÍ ÚČ. PRŮŘEZŮ MONOENERG. NEUTRONY Z JÁDROVÝCH REAKcí

Ve středním rozsahu energií můžeme získat monochromatické neutrony ostřelenými vhodných jader urychlenými nabitymi částicemi. Přstroje užívané pro urychlování částic k této účelům, bývají Van de Graaffův a Cockcroft-Waltonův generátor. Energii monochromatických neutronů lze spojitě měnit v širokých mezích změnou energie urychlovaných nabitych částic.

Obtíže se u této metody objevují u nižších energií neutronů a dolemez této metody jsou prakticky jednotky keV. Používá se prahových reakcí pro uvolnění neutronů a terče se ostřeluji částicemi s energií, blízkou prahové. Přitom je výtěžek neutronů s malou energií nízký. Pro zajištění požadované monochromaticnosti neutronů je nutné užívat tenkých terčů, ve kterých jsou nabité částice brzděny jenom zanedbatelně. Použití takových terčů však také zmenšuje výtěžek neutronů.

Můžeme si rozdělit problémy měření průřezů touto metodou do tří hlavních úseků /3/ z:

1. jádr. reakce, která má dávat neutrony požadované energie, musí být dostupná a úč. průřez pro reakci musí být dostatečně veliký,
  2. je nutné zajistit přesné udržování energie urychl. částic, abychom dostali opravdu monoenergetické neutrony,
  3. instalace urychlovače v laboratoři musí být taková, aby byl - /a/: snížen počet rozptýlených neutronů, které se dostanou do detektoru, /b/: zredukován počet neutronů ze sekundárních zdrojů.
- Ve čtvrtém odstavci budou probrány přednosti této metody pro měření ve středním rozsahu energií.

### 5.1 Zdroje neutronů.

Protože rozsah energií, který nás zajímá, tvoří nízkoenergetickou část rozsahu energií, měřitelných touto metodou, zaměříme se na reakce, které dají neutrony o nízké energii.

Tloušťku terče, která jak bylo uvedeno musí být malá, nevyjadřujeme v g/cm<sup>2</sup> ale přímo střední ztrátou energie nabité částice-na př. protonu - v terči. Ta pak určuje stupeň monochromatisace protonů a tím i neutronů. Přímé měření tloušťky terče v keV je založeno na této úvaze. Při energii protonů, blízké prahu reakce, se neutrony řídí jen dopředu a proto intensita svazku neutronů pod úhlem θ=0° roste prudce poblíž prahu a dosahuje maxima při energii protonů, která přesahuje prah o hodnotu, číslně rovnou tloušťce terče v energetické mře. Závislost se tedy závislost výtěžku neutronů na energii protonů. Tloušťka terče se určí jako rozdíl energie protonů, příslušející maximu uvedené křivky a energie, která přísluší počátku křivky, t.j. prahu.

$\text{Li}^7/p, n/\text{Be}^7$ . Tato reakce je velmi používaná pro nízké energie neutronů. Práh pro tuto reakci je  $1,811 \pm 0,005$  MeV /3/. Neutrony z této reakce jsou monoenergetické až do energie protonů  $2,38$  MeV, kde je práh pro druhou skupinu neutronů. Tato reakce má dostatečně veliký úč. průřez. Terče se zhotovují napájením Li /ve vakuum nebo ve vzácných plynech/ na tantalovou podložku. Při užití proudu protonů nad  $5\mu\text{A}/\text{cm}^2$  je nutné použít rotujících terčů /1 ot./sec při Øterče  $2,5\text{cm}$ . Vnější strana tantalové podložky se chladi vodní sprchou.

Sc<sup>45</sup>/p,n/Ti<sup>45</sup>; V<sup>51</sup>/p,n/Cr<sup>51</sup>; Cu<sup>63</sup>/p,n/Zn<sup>63</sup>. Nedostatkem reakce Li/p,n/Be (a též reakce T/p,n/He<sup>3</sup>) jako zdroje neutronů pro střední rozsah je mimo poměrně vysoký práh i to, že nedává ve směru svazku protonů monoenergetické neutrony s energií nižší než 120 keV [3]. Tento nedostatek se obchází tím, že se používá neutronů, které vyletují pod úhlem > 80°. V reakci s Li se dají získat monochromatické neutrony s energií E<sub>n</sub> < 80 keV jen pod úhly θ > 90°. Při tom ale musí být energie protonů E<sub>p</sub> > 1,92 MeV, protože při menších energiích E<sub>p</sub> nejsou v žadné polokouli žádné neutrony [2]. Neutron je ale při takových velkých úhlech - a zvláště blízko prahu - velmi málo. Uvedené třídy prvky dávají nížší energie monoenergetických neutronů při θ = 0° - rádově pod 10 keV. Mohly by tedy být lepšimi zdroji neutronů pro střední rozsah, budou-li dávat porovnatelné výtěžky neutronů. U těchto reakcí je též rovnoměrnější úhlové rozložení. Tedy nejenže se dá dosáhnout při θ = 0° poměrně pomalejších neutronů, ale i při větších úhlech není detekce kombinována rozptylem neutronů, které vyletují vpřed, v takové míře, jako je tomu v reakcích s lehkými prvky.

Pro reakci V<sup>51</sup>/p,n/Cr je práh 1,56 MeV. Terče z V<sup>51</sup>, tloušťka 2,5 keV daly při proudu protonů 40 μA tok neutronů 10<sup>5</sup> n/sec. Práh reakce Sc/p,n/Ti je vyšší - 2,908 MeV. Tato reakce dává větší výtěžek poblíž prahu, ale práh sám je dost vysoký.

H<sup>3</sup>/p,n/He<sup>3</sup>. Práh této reakce je 1,019 MeV. Tritia se používá buď plynného, uzavřeného ve zvláštní komůrce, která je oddělena tenkou folií od vakuového prostoru urychlovače, nebo adsorbovaného v tenké kovové vrstvě, napařené na wolframovou, nebo platinovou podložku. Velmi dobře pohlcuje tritium kovy jako tantal, titan, nebo zirkon. Reakce s tritem se zdá být vhodnější než s Li, protože: 1. má značně nižší práh a tedy stačí protony s menší energií, 2. má trochu větší průřez a tím větší výtěžek neutronů, 3. dává monochromatické neutrony v širším intervalu energií. Minimální energie neutronů, vyletujících vpřed je 60 keV při prahové energii protonu. Intensita však hodně rychle klesá při větších úhlech výletu.

C<sup>14</sup>/p,n/N<sup>14</sup>, Be<sup>10</sup>/p,n/B<sup>10</sup>. Tyto reakce, které se zdají být velmi slibné pro střední rozsah energií, budou probrány v odstavci 5.4.

## 5.2 Řízení energie.

Při použití Cockcroft-Waltonových generátorů, které mávají poměrně nízkou napětí, není přesná kontrola energie obtížná. Důležité je přesné udržování energie částic, urychlených ve Van de Graaffových generátořích. K tomuto účelu se používají magnetických a elektrostatických analýzatorů různých typů.

## 5.3 Instalace v laboratoři.

Urychlovače je nutno instalovat ve velkých místnostech, aby se snížil rozptyl neutronů ze stěn a stropu. Důležitý může být také rozptyl na betonových podlahách a proto se nyní používají tenkých podlah ze železa nebo hliníku. Jimi je zakryta žacha, hluboká nejméně 2,5 m. Terč bývá umístěn 7-10 m od analýzatoru, který může být zdrojem sekund. neutronů. Při takových vzdálenostech je vhodné fokusovat svazek iontů elektrostatickou čočkou a tím získat malý průměr svazku na terči.

Výhodné je použití v řadě iontových zdrojů, které mají vysoký poměr atomářů, iontů k molekulárním. Protože používáme ve svazku atomární ionty, sníží se tak počet sekundár. neutronů od svazku molekulární iontu. Mimoto mají tyto zdroje malou spotřebu plynu. Urychlovač musí být střněn od terče betonovými stěnami pro absorpci záření X. Pro bezpečnost personálu jsou ovládací stanoviště ve vzdálostech  $\geq 10$  m od terče a jsou střněna betonem o tloušťce  $\geq 70$  cm.

#### 5.4 Měření středních energií.

Hibdon, Langsdorf a Holland vyvinuli měření úč. průřezu v rozsahu energií od 1 do 100 keV [4]. Neutrony z reakce  $\text{Li}/p,n/\text{Be}$  / pomocí Van de Graafova generátoru/ byly detekovány souborem počítací s vysokou účinností /15 % /, který byl umístěn tak, že detekoval neutrony pod úhlem  $120^\circ$  od směru proton. svazku. Měření při nízkých energetických byla umožněna kolimátorem a střněnou počítací, což snižovalo pozadí. Získali poměrně velké četnosti zlepšeným detektorem, který byl tvořen velkou skupinou počítací, plněných  $\text{BF}_3$ , které byly v parafinu. To vše umožnilo použít tenkých terčů, což zase vedlo k většemu rozlišení energie/při energii 10 keV bylo prům. rozlišení 1 keV, t.j. 10% /.

Rozlišení energie [4] je u této metody horší na dolním konci energetického rozsahu. Dispersa v energii neutronů může být způsobena: tloušťkou terče, dispersi energie protonů uvnitř iontového svazku, fluktuačemi v energii iontů od nedokonalého stálého napětí generátoru a konečnou úhlovou šírkou detektoru /tato poslední veličina však bývá malá proti předešlém - asi  $\pm 10$  při  $120^\circ$  /.

V poslední době byla zdokonalena technika monochromatisace svazku iontů, udržování, stabilisace a přesného měření urychlov. napětí. Použití nových účinných druhů detektorů [28], by dovolilo pracovat s velmi tenkými terči a tato ve spojení s uvedenými zdokonaleními by dalo velmi vhodnou metodu pro detailní studium závislosti úč. průřezu na energii ve středním rozsahu energií. Pro tento účel by bylo velmi cenným doplňkem použití terčů z radioaktivních isotopů s dlouhým poločasem [2]. Výhodné se jeví reakce:  $\text{Be}^{10}/p,n/\text{B}^{10}$  a  $\text{C}^{14}/p,n/\text{N}^{14}$ . Oba tyto isotopy jsou radioaktivní  $\beta^-$  s položasy 2,5 milionů let a 5100 let. Práhy obou reakcí jsou nízké / 0,20 a 0,66 MeV / a tak se dají reakce provést s urychlovači o poměrně nízkém napětí. Reakce s Be dá monochrom. neutrony až do energie 0,8 MeV. Reakce s C se zdá být vhodnou pro získání monoenerget. neutronů v rozsahu energií od 3 keV do 5 MeV.

### 6. SELEKCE ZE SPOJITÉHO SPEKTRA

Selekce může být provedena dvěma způsoby. Buď na základě prostorového rozkladu, nebo na základě časového rozkladu spektra neutronů podle rychlosti. První způsob využívá Braggova odrazu neutronů na krystalu, kdežto druhý měření doby, potřebné na to, aby neutrony prolétly určitou vzdálenost. První způsob se dá použít jen ve spojení s reaktory, kdežto druhý buď s reaktorem, nebo s urychlovači. Oba způsoby - krystalový monochronátor a průletový selektor - mají spojlečný zdroj neutronů, který je tvořen zpomalením rychlých neutronů. Toto zpomalení, obvykle vytvářené pružnými srážkami s lehkými jádry, vede k toku neutronů, obráceně úměrnému energii, t.j. "spektrum  $dE/E$ ". Ačkoliv jsou obě techniky založeny na různých metodách selekce rychlosti, přesto obě mají rozlišení/dispersi energie  $\Delta E/E$ , které se mění s energií stejným způsobem / $\Delta E/E \sim E^{1/2}$  /. Jinak jsou mezi oběma způsoby rozdíly, které se projeví na rozsahu energií, zkoumaném tím kterým způsobem.

### 6.1 Prostorový rozklad - krystalový monochromátor.

Tento způsob selekce monoenerg. skupiny neutronů ze spojitého spektra je založen na rozkladu spektra neutronů podle energie do různých úhlů. Vyžaduje dobré kolimovaného, intenzivního svazku neutronů; pro jeho funkci je tedy nezbytný jaderný reaktor.

Svazek neutronů pro krystalový spektrometr je vyveden otvorem ve stěně reaktoru z mřížky, pokud možno blízkého středu reaktoru. Zde je totiž veliký tok pomalých a středních neutronů. proud, který dopadá na monochromatisáční krytal je mnohem menší vlivem malého prostorového úhlu, zaujímaného krystalem. Neutrony, difrancované na krystalu, se detekují počítacem. Od krystalu se odražen ty neutrony, jejichž délka vlny  $\lambda$  splňuje Braggova podmínku:

$$n\lambda = 2d \cdot \sin \theta,$$

kde  $\theta$  je úhel sklonu,  $d$  je vzdálenost mezi rovinami, které se zúčastní odražení,  $n$  je číslo odražení. Protože dopadající svazek není přesně paralelní, t.j. existuje rozsah úhlů  $\Delta\theta$ , musí existovat i odpovídající rozsah vlnových délek neutronů, odražených od krystalu. Tuto disperzi vln. délky dostaneme dleme diferenc. hojejší rovnice:

$$\Delta\lambda = \frac{2d}{n} \cos \theta \cdot \Delta\theta, \text{ nebo:}$$

$$\frac{\Delta\lambda}{\lambda} = \cot \theta \cdot \Delta\theta, \text{ a rozlišení energie:}$$

$$\frac{\Delta E}{E} = 2 \frac{\Delta\lambda}{\lambda} = 2 \cot \theta \cdot \Delta\theta.$$

Pro užívaný krystal LiF /mřížka  $4,01 \text{ \AA}$ / je vzdálenost  $d$  mezi rovinami /111/ rovna  $4,01 \sqrt{1^2 + 1^2 + 1^2} = 2,32 \text{ \AA}$ . Tedy úhel sklonu pro neutrony s energií 1 eV / $\lambda=0,287 \text{ \AA}$ / bude roven  $3,5^\circ$ . To je ještě upotřebitelná hodnota, ale pro energii 100 eV je  $\theta = 0,35^\circ$ . Současně kryst. spektrometry užívají svazky, kolimovaných na  $0,1^\circ$  a tak by při 100eV bylo rozlišení energie velmi špatné, asi 50%. Při této úhlu  $\theta$  je možné získat neutrony s větší energií použitím menšího  $d$ , nebo vyššího čísla odražení  $n$ . Velmi malé  $d$  mají krystaly Be / $0,75 \text{ \AA}$  s rov. (421)/, které jsou i jinak vhodné. Zvětšování  $n$  není dobrý způsob, protože intensita odražených neutronů klesá podle  $1/n^2$  a mimo nesmí rušit odrazy nižších čísel, které by měly mnohem větší intensitu.

Právě zmíněné úhlové poměry omezují oblast použitelnosti krystal. spektrometru pod 100 eV - prakticky asi pod 20 eV. Intensita odraž. neutronů - podobně jako rozlišení - klesá prudce s růstem energie a to nejen vlivem spektra  $dE/E$ , ale i proto, že činitel odražu krystalu klesá podle  $1/E$ .

Konstrukčně je krystal monochromátor uspořádán tak, že krystal je upevněn na otáčivém stolku. V určité vzdálenosti od něho je detektor neutronů na masivní rameni, které dovoluje otáčení kolem osy, jdoucí krystalem. Úhel otáčení detektora je dvojnásobek úhlu otáčení krystalu. Nutný poměr úhlů je zajištěn zubovým převodem. Divergence primárního svazku, určená soustavou štěrbin v kolimátoru, bývá asi  $5'$ . V sekundárním svazku se divergence zvětší vlivem mosaikové struktury krystalu /asi na  $8'$ . Detektorem bývá välcový proporcionalní počítac, plněný  $B^{10}F_3$ , orientovaný pro větší účinost tak, že neutrony procházejí podél jeho osy. Otáčíme-li krystalem a detektorem, měníme úhel  $\theta$ , a tím dostáváme v odraž. svazku neutrony se spojité proměnnou energií, protože

$$E \sim \frac{1}{\sin^2 \theta}.$$

Pomocí takto získaných monochrom. svazků neutronů s řiditelnou energií lze pak studovat, metodou zeslabení svazku, úhr. průřezu vzáj. působení pomalých neu-

tronů v studovaných materiálech. Vzorky látek lze umístit jak do svazku, dopadajícího na krystal, tak do svazku odraženého - mezi krystalem a detektorem, protože krystal nemění spektrum neutronů, ale pouze ho rozkládá do různých úhlů a intensita odraž. neutronů dané energie je úměrná intenzitě dopadajících neutronů.

Pro zlepšení rozlišovací schopnosti při energiích řádově stovky eV, byl zkonstruován krystal. monochromátor se dvěma monokrystaly. Nebyl to příliš zdařilý přístroj, protože intenzita monochr. neutronů byla příliš nízká a měření dávalo mech. selektory v této oblasti lepší rozlišení.

Často jsou v poslední době konstruovány spektrometry s ohnutým krystalem. Svazek neutronů, vystupující z reaktoru, je soustředěn kadmiiovým kolimátorem a dopadá na ohnutý krystal. Odrazové roviny krystalu jsou kolmé k ohnutým plochám a krystal odraží část svazku. Odražený svazek je fokusován. Tím jsou dány přednosti tohoto typu; při stejně intenzitě mají fokus. spektrometry lepší rozlišovací schopnost. Lze také použít užších detektorů, což vede ke zvětšení poměru - účinek k pozadí. Hlavní výhodou pak je možnost studia malých vzorků. Tím je umožněno studovat i těžko získatelné látky, na př.: separované isotopy. Tento typ spektrometru je analogiem Cauchoisova spektrometru pro paprsky X, který zaručuje správnou funkci při různých úhlech sklonu. Jeden z těchto nových spektrometrů užívá /10/ křemenového krystalu /roviny (1340) nebo (1010) /. Krystal je zde ohýban dvěma stejnými, opačnými momenty na svých koncích. Držák krystalu je pak jednoduchý. Rozlišovací schopnost tohoto přístroje je  $E/\Delta E = 30$  (t.j. asi 3%) při energii 1 eV. Jiný přístroj tohoto typu /9/ bude mít ohnutý berylliový krystal o poloměru křiv. 1 m. Svazek bude mít průřez 38,2,5 mm. Bude užíván pro měření úč. průřezu štípení a rozptylu.

Použití krystalových spektrometrů pro neutrony v oblasti pod teplotou se kladou do cesty vážné potřeby /11/.

## 8.2 Časový rozklad.

Druhá metoda selekce monoenergetických neutronů je založena na časovém rozkladu spojitého spektra neutronů. Princip této metody můžeme objasnit asi takto. Vytvoříme libovolným způsobem puls neutronů, říkáme mu v dalším "záblesk". Vzdálenosti od místa vzniku neutronového záblesku umístíme záklidky, kterou otevřeme vždy za určitou dobu po vzniku záblesku. Neutrony různých rychlostí potřebují různou dobu na proběhnutí dané vzdálenosti zdroj-záklidky a proto takový systém bude tvořit monochromátor, neboť záklidka propustí jen neutrony s rychlosťí  $v = l/t$ , kde  $l$  - je vzdálenost mezi zdrojem pulsů a záklidkou,  $t$  - je časový interval mezi okamžiky vzniku záblesku a otevření záklidky. Změnou tohoto čas. intervalu můžeme propouštět neutrony různých rychlosťí a tím různých energií.

Ve skutečnosti se záklidky nepoužívají / v jednom novém rychlém mech. selektoru, který bude dále popsán, je použito tohoto systému/. Neutrony určitá rychlosť se vybírají pomocí detektoru, který má modulovanou citlivost. Detektor je přiváděn do pracovního stavu krátkými, periodicky se opakujícími impulzy napětí, které jsou synchronovány se záblesky neutronů a tak může registrávat neutrony jen během trvání každého impulsu  $\Delta t$ . Detektor je podobně jako záklidka, umístěn ve vzdálenosti  $l$  od zdroje neutronů a je citlivý se zpožděním  $t$  po

záblesku neutronů a tak registruje neutrony s rychlosí  $v = l/t$  a okolo této. Začnou zpoždění  $t$ , můžeme vybrat a studovat neutrony různých rychlosí. U moderních spektrometrů se registruje výstup detektoru pomocí elektronického zařízení pro celou řadu hodnot  $t$  na jeden záblesk neutronů. Toto elektronické zařízení nazveme "časový analýzator" a celý spektrometer, který užívá časového rozkladu bude nazýván "průletovým spektrometrem".

Vztahy, které platí u průletových spektrometrů, nezávisí na tom, jakým způsobem byl vyroben záblesk neutronů. Mezi energii  $E_{\text{gy}}$ , rychlosí  $v [m/s]$  a dobou průletu  $t [\mu s/m]$  neutronů na vzdálenost  $l [m]$  platí tyto vztahy :

$$v = \frac{10^6}{t}, \quad E = \frac{5227}{t^2}, \quad t = \frac{72,3}{E}.$$

Pomocí těchto vztahů můžeme napsat přehlednou tabuľku pro střední rozsah energií:

| $E$           | 1<br>keV          | 10<br>keV         | 100<br>keV        |
|---------------|-------------------|-------------------|-------------------|
| $v [m/s]$     | $4,38 \cdot 10^5$ | $1,38 \cdot 10^6$ | $4,38 \cdot 10^6$ |
| $t [\mu s/m]$ | 2,29              | 0,723             | 0,229             |

Z tabulky je vidět, že pro délku dráhy řádově desítky metrů, je doba průletu měřitelná elektronickým zařízením.

Důležitou charakteristikou průletových selektorů - nutnou pro analýzu výsledků - je t.z.v. rozlišení /neurčenost rychlosti  $\Delta v$ , nebo energie  $\Delta E$ ,

která přísluší dané době průletu  $t$ , které je v podstatě určeno : trvání neutronového pulsu, rozlišovací schopnost elektronického zařízení, které určuje dobu průletu a průletovou vzdálenost.

Z uvedených rovnic dostaneme pro rozlišení rychlosti  $/\Delta v/$  a pro rozlišení energie  $/\Delta E/$  v závislosti na neurčenosti doby průletu na 1 m vzdálenosti  $\Delta t [\mu s/m]$ , tyto vztahy:

$$\Delta v = - \frac{10^6 \Delta t}{t^2}$$

$$\frac{\Delta v}{v} = - \frac{\Delta t}{t}, \quad \Delta v = - 10^{-6} v^2 \Delta t$$

$$\frac{\Delta E}{E} = - \frac{2 \Delta t}{t}, \quad E = - 0,028 E^{3/2} \cdot \Delta t,$$

kde neurčenost doby průletu je rovna součtu neurčeností času a vzdálenosti, t.j.

$$\frac{\Delta t}{t} = \frac{\Delta t_1 + \Delta t_2 + \Delta t_3}{t} + \frac{\Delta l}{l},$$

při čemž  $\Delta t_1$  - je trvání záblesku neutronů,  $\Delta t_2$  - je trvání citlivé periody detektoru,  $\Delta l$  - je neurčenost vzdálenosti bodu vzniku a detekce neutronů a  $\Delta t_3$  - je zahrnuje neurčenosti časování detektoru a elektronického zařízení, kdy bývá  $\Delta t_3 < \Delta t_1 + \Delta t_2$ . Hlavní podstí na neurčenosti  $\Delta t$  má trvání neutronového záblesku a doba, během níž přijímá detektor neutrony s danou dobou průletu. Tento časový interval, během něhož se detekují neutrony, nazýváme "šířkou kanálu". Optimální funkce spektrometru /max. četnost při daném rozlišení/ je tehdy, když trvání záblesku je stejné, jako šířka kanálu /9/.

U průletových spektrometrů musí být zamezeno časovému "přeskakování" neutronů záblesků. Je-li v1 rychlosí nejrychlejšího, a v2 nejpomalejšího neutronu v záblesku a jesti opakovací frekvence záblesků p, pak musí být splněno :

$$\frac{1}{v_2} - \frac{1}{p} \leq \frac{1}{v} \leq \frac{1}{v_1} + \frac{1}{p},$$

při čemž  $v$  je rychlosť neutronu, který chceme detektovat.

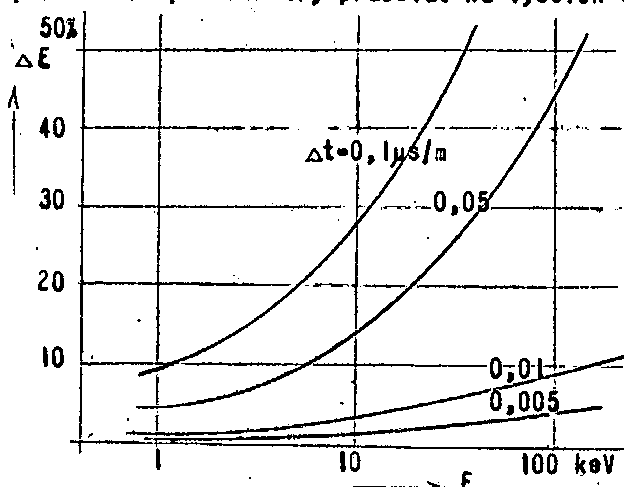
Předpokládáme-li rozložení energie neutronů ze zdroje zprvu dle Maxwellova zákona a pak dle  $1/E$ , potom četnost na kanál je dána výrazem /12/ :

$$C_i/\text{min} = \frac{N \cdot A \cdot e \cdot p}{13} \cdot \frac{\Delta t_1 \Delta t_2}{t} \cdot 7,11 \cdot 10^{-3}, \text{ nebo}$$

$$C_i/\text{min} = \frac{N \cdot A \cdot e \cdot p}{13} \cdot \frac{\Delta t_1 \Delta t_2}{t} \cdot \sqrt{E},$$

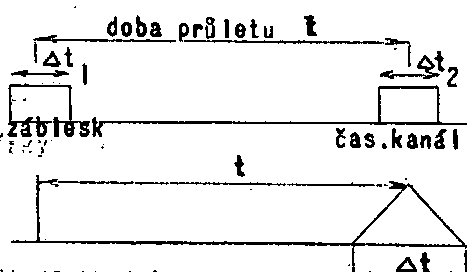
kde:  $N$  - je celk. počet neutronů v záblesku,  $A$  - je plocha detektoru,  $e$  - je účinnost detektoru pro neutrony s/energií rychlosť  $v$ ,  $p$  - je ppakovací frekvence,  $\Delta t_1$  - trvání záblesku a  $\Delta t_2$  - šířka kanálu.

Za vztoru pro  $\Delta E$  plyne, že při daném  $\Delta t$  roste rychle neurčenost energie  $\Delta E$  s růstem  $E$  /při zvětšení  $E$  100x - z 1 keV na 100 keV - vzroste  $\Delta E$  1000x/. Závislost  $\Delta E$  na  $E$  /t.j. podle  $E^{3/2}$ / je stejná, jako u krystalového monochromátoru. Pro spektrum neutronů  $dE/E$  a pro detektor s účinností  $e \sim 1/v$ , je za vztorce pro četnost vlivět, že četnost na kanál je nezávislá na energii /při  $\Delta t = \text{const}$ / a proto mohou průletové spektrometry pracovat na vyšších energiích než krystalové /kde činitel odrazu klasá dle  $1/E$ /. Závislost  $\Delta E$  na  $E$  pro různá časová rozlišení  $\Delta t$  je znázorněna na následujícím grafu.



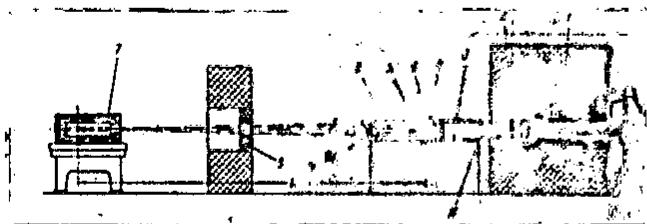
Na resonance se nahrazuje skutečná rozliš. funkce a plochy se sobě rovnají. "Šířkou" rozlišov. trojúheln. budeme rozumět celkovou jeho šířku na poloviční výšce. U spektrometrů s puls. urychlovači se obvykle užívá plná římská rozliš. trojúheln. při základně. Tyto různé římské rozliš. nemohou pak být přímo srovnávány. Aby bylo rozlišení nezávislé na průletové vzdálosti, udává se jako římská rozliš. trojúheln., podělená průletovou vzdálostí -  $\Delta t$   $\mu\text{s}/\text{m}$ .

Podle způsobu, jakým získáváme záblesky neutronů, můžeme průletové spektrometry rozdělit do dvou skupin. Jednou jsou záblesky získány přerušováním souvislého toku neutronů mechan. záklapkou - tyto přístroje nazveme "průletové spektrometry s mechan. selektorem" - podruhé jsou záblesky získány nespojitým způsobem v puls. urychlovačích - to pak budou "průletové spektrometry s urychlovači".



## 6.21 Spektrometry s mech. selektorem.

V mech. selektoru se produkuje záblesky neutronů přerušováním svažků neutronů, který vystupuje z reaktoru, pomocí rychlé se otáčejícího mechanického závěru. Svažek neutronů, který vystupuje otvorem ve stěně, prochází nejprve kolimacní trubicí a dopadá do štěrbinového kolimátoru. Řada úzkých svažků neutronů, vydělených třídy kolimátorem, prochází rotemech. selektoru, který se otáčí velikou rychlosťí. Rotor je tvořen soustavou štěrbin, které jsou prodloužením štěrbin kolimátoru. Přerušovaný svažek prochází po první druhé štěrb. kolimátorem /8/, který absorbuje neutrony, rozptýlené rotemech. Když pak proběhnou neutrony vzdálenost 1 - tato dráha bývá evakuovaná trubice - jsou registrovány detektorem /7/. Pulsy z detektoru jdou k čas. analysátoru. Ten je spouštěn světelnými pulsy /generátor 8/ - nazveme je "startovacími pulsy" - v okamžiku, kdy neutrony procházejí štěrbinami rotora.



I-stěně reaktoru, 2-kolim. trubice, 3-první kolimátor, 4-rotor, 5-štěrbiny rotora, 6-druhý kolimátor, 7-detektor, 8-gen.start.pulsu, 9-stěně, 10-vzorek.  
Tato dráha bývá evakuovaná trubice - jsou registrovány detektorem /7/. Pulsy z detektoru jdou k čas. analysátoru. Ten je spouštěn světelnými pulsy /generátor 8/ - nazveme je "startovacími pulsy" - v okamžiku, kdy neutrony procházejí štěrbinami rotora.

Základní parametry, které charakterisují selektor, jsou /13/ :

1. rozlišovací schopnost, 2. světlonoost a 3. pozadí.

Rozlišovací schopnost je, jak bylo uvedeno, poměr poloviční řídky spektrální čáry ku dráze letu. Říčka čáry je určena při vyšších energiích převážně trváním záblesku. Doba záblesku závisí na otáčkách rotora vztahem:  $\Delta t_1 = S/\omega R$ , kde  $S$  - je úč. říčka štěrbiny a  $2R$  - je délka štěrbiny.

Množství neutronů v daném intervalu  $\Delta v$ , které jsou registrovány, je menší než množství v téže intervalu rychlostí, které je ve svažku, dopadajícímu na rotor. Poměr těchto dvou množství určuje světlonoost selektoru. Tato veličina bývá řádově  $10^{-4}$ .

Pozadí kanálu dané energie je určeno t.zv. propustností rotora v okamžiku, kdy se děje registrace měřených neutronů.

Mechan. selektory můžeme dále rozdělit do dvou skupin, kterým se obvykle říká "pomalé" a "rychlé". Název se vztahuje k energii neutronů, které jsou jimi přerušovány, a nikoli k rychlosti selektoru samých, protože u obou druhů jsou otáčky asi 10 000 - 20 000 ot/min.

## 6.211 Pomalé selektory.

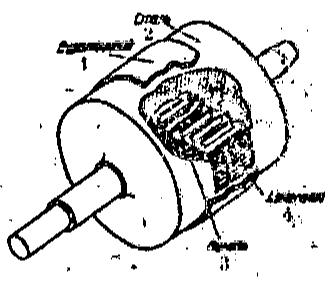
Mechan. selektor, který pracuje v téplém rozsahu je v principu typický, jako rychlý. Má ale jednodušší konstrukci, protože záblesky jsou vyroběny mívají trvání asi 20  $\mu$ s, zatím co u rychlých asi 1  $\mu$ s. Ničíto se dá tok téplých neutronů přerušit tenkou vrstvou kadmu, kdežto u rychlých je nutná tlustá vrstva oceli, nebo plastické hmoty.

Pomalý selektor využívá zjevu, že kadmiu je silným absorbátorem neutronů s energií pod 0,3 eV, kdežto jiné kovy - na př. hliník - jsou špatně ab-

sorbátory v tomto rozsahu energií. V podstatě je pomalý mech, selektor otáčející se válec, ve kterém je svazek prostřídaných vrstev kadmia a hliníku. Válec je pocháněn s motorem rychlostí na př. 180 ot/sec a propustí neutrony dvakrát za otáčku, t.zn. při rychlosti 180 ot/s vznikne v 1sec 360 neutronových záblesků. Detektorem bývá proporc. počítací s BF<sub>3</sub>, který u pomalého selektoru je v neveliké vzdálenosti od rotoru.

Pomalý selektor dokonalejší konstrukce /7/ má kanály pro průchod neutronů zakřiveny a tím jsou propouštěny pouze neutrony určitého rozsahu rychlostí (rozsah je určen otáčkami). Přerušovač vytváří záblesky neutronů a současně působí jako hrubý monochromátor. To má za následek, že opakovací frekvence záblesků může být zvýšena (podmínka na str. 15). Aby se mohlo pracovat stále s vyššími otáčkami (kvůli dobrému rozlišení), musí se křivost kanálů měnit s rychlostí. Proto se konstruuje vyměnitelné rotory s různou křivostí.

Pro přerušení svazku neutronů se může využít nejen absorpcí, ale i rozptylu neutronů rotorem. Pak musí být svazek dobře kolimován jak do přerušení, tak za ním. Rotor je pak tvořen /13/ střídavě proloženými deštičkami niklovými a hliníkovými. Pro změnu rozptylu neutronů mohou být v hliníkových deštičkách otvory. Balíček takových deštiček je srostlačen mezi dvě poloviny ocelového rotora. Pro měření v oblasti tepelných neutronů byly niklové deštičky o síle 0,5 mm pokryty elektrolyticky vrstvou kadmia o tloušťce 0,1 mm. Pro měření v nadkadmiiové oblasti energií neutronů byl používán rotor se šípkou štěrbinou 0,5 mm a tloušťkou niklových deštiček 1,2 mm.



Pro měření v oblasti tepelných neutronů byly niklové deštičky o síle 0,5 mm pokryty elektrolyticky vrstvou kadmia o tloušťce 0,1 mm. Pro měření v nadkadmiiové oblasti energií neutronů byl používán rotor se šípkou štěrbinou 0,5 mm a tloušťkou niklových deštiček 1,2 mm.

Některé nové pomalé selektory /9/ mají podobnou konstrukcí jako povodní selektor Fermiho. Budou používány pro velké vzorky v rozsahu  $10^{-3}$  do  $0,2$  eV. Pro měření radioaktivních vzorků je preparát v tenké trubičce, která tvoří část kolimátoru /8/. Rotor pak má jednu štěrbinu.

#### 6.212. Rychlé selektory.

K vytvoření rychlých záblesků neutronů střední energie se musí přerušovač zavřít a otevřít rychle, asi v 1 μs. Mimoto musí být přerušovač těžký, aby zastavil neutrony všech energií. Veličné rozměry a vysoká rychlosť tvoří z rychlého přerušovače (t.j. pro rychlejší neutrony / složitější přístroj, než je pomalý přerušovač, kde pro zastavení pomalých neutronů stačí tenké kadmiiové plátky).

Nutnost krátkého trvání záblesku vede k použití svazku neutronů o malém průřezu, tudíž o nízké intenzitě; abychom ale dostali rozumnou četnost ve vzdáleném detektoru, požadujeme co největší intenzitu. Tyto protichůdné požadavky tak vedou k vytvoření těžkého, prudce se otáčejícího rotoru se štěrbinami pro průchod neutronů o průřezu asi  $0,2 \times 20$  mm. V okyníku, kdy štěrbiny v rotoru mají podobně štěrbiny v pevném kolimátoru, jsou vytvořeny záblesky neutronů o trvání asi 1 - 5 μs.

Jeden z prvních rychlých selektorů /7/ je v podstatě ocelový válec o průměru asi 10 cm a délce 40 cm, který se otáčí kolem své osy, horizontálně uložené. Podél osy je v rotoru vyfrézováno šest štěrbin o průřezu  $0,25 \times 25$  mm, kterými procházejí neutrony. Podobně štěrbiny jsou i ve statoru. Současné štěrbiny rotoru a statoru, procházejí neutrony současně všemi šesti štěrbinami během časového intervalu, daného otáčkami a šířkou štěrbin. Rotor je tak dlouhý proto, aby byla při uzavřené záklopce malá četnost, t.j. pozadí, proti četnosti při záblesku. Aby se dosáhlo

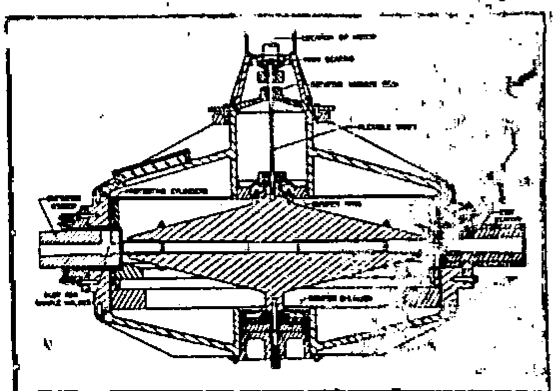
pozadí asi 1%, musí být propustnost zavřené záklopky asi  $10^{-4}$ , protože četnost neutronů v záblesku je asi 100x menší proti četnosti mezi záblesky v důsledku toho, že záblesk je asi 100x kratší než doba mezi záblesky. Tento selektor dává záblesky 5  $\mu s$  při 10 000 ot/min. Zkrácení záblesku je spojeno s obtížemi, které vznikají od nepodajného horizontálního uložení. Rozlišení energie je 0,15 eV při 5 eV a 150 eV při 500 eV /t.j. 30 %. Tedy rozlišení je při vyšších energetických nedostatečné pro správný tvar resonance. Na obrázku je vidět stator, rotor a v černé krabici časovač ústrojí.

Mech. selektor, jehož podstatou je ocelový válec s podélnými štěrbinami /13/ pro studia v rozsahu 10 až 10 000 eV může být roztáčen vzduchovou turbinkou s 20 000 ot/min. Trvání záblesku u tohoto přístroje je 6  $\mu s$ . Dráha letu je 26,5 m a nejlepší rozlišení 0,12  $\mu s/m$ .

1/1  
Pracuj

Selektory s horizontální osou a nepodajným uložením dřívější dnes záblesky polovičního trvání než první rychlý selektor. Při dráze 10 m máj rozlišení asi 0,5  $\mu s/m$ . Jeden z nich /9/ bude pracovat v rozsahu  $10^{-2}$  až  $10^5$  eV a má průřez svazku  $0,125 \text{ cm}^2$ . Selektor podobně konstrukce jako pro oblast pomálych neutronů /14/ má v rotoru 30 štěrbin, umístěných kolmo k ose /horizontálně uložené/. Před- a za rotorem jsou štěbinové kolimátory. Rotor je ze slitiny 70% Ni a 23% Cr. Tato slitina má velikou pevnost a také velký a konstantní úč. průřez rozptylu / $\delta = 18$  b až do asi  $10^4$  eV/. Průměr rotoru je 150 mm, šířka štěrbin  $0,2 \times 24$  mm. Rotor je poháněn ss motorem přes třecí převod 5 : 1 na 24 000 až 30 000 ot/min. Otáčky se řídí ručně a udržuje se s přesností 1%. Aby se zmenšila plocha detektoru a současně zvětšil prostorový úhel, t.j. světelnost přístroje, jsou soustavy štěrbin konvergentní na vzdálenost 18 m od rotoru.

Zdokonalená konstrukce rychlého selektoru je na vedlejším obrázku:



/78/. Rotor je horizontální disk o průměru 760 mm. Je zavřený na pružné hřídelce ve vyčerpané komoře. Štěrbiny pro vytváření záblesku jsou v dílcích z plastické hmoty a tyto dílce jsou sevřeny mezi dvěma hliníkovými odlitky. Možná rychlosť tohoto rotora je 15 000 ot/min, při čemž záblesk trvá 0,6  $\mu s$ . Se scintilačním detektorem /tentot bude popsán ve zvláštní kapitole/ a délkom dráhy 20m /konstrukce pěrušovače dovoluje užít takové vzdálenosti, neboť zajišťuje dostatečnou intenzitu neutronů/ a při 10 000 ot/min má rozlišení funkce šířku 1,2  $\mu s$ ,

takové vzdálenosti, neboť zajišťuje dostatečnou intenzitu neutronů/ a při 10 000 ot/min má rozlišení funkce šířku 1,2  $\mu s$ ,

tudíž je rozlišení 0,06  $\mu$ s/m. Přitom je rozlišení energie 2% pro 200 eV neutrony. Pro neutrony s energií 5 keV je rozlišení energie 10 %.

Jeden nově konstruovaný rychlý selektor /8/ má podobné uspořádání jako právě popsány, t.j. přesně spojen s elektromotorem o 15 000 ot/min a točí se kolem vertikální osy. Rotor je kotouč z monejova kovu o průměru asi 250 mm s uranovým jádrem Ø 75 mm. Tento přístroj dává asi dvakrát kratší záblesk než obvyklý systém s štěrbinou. Soustava štěrbin má dvě skupiny, které se křížují pod pravým úhlem. Průřez štěrbiny je  $0,63 \times 50$  mm. Otevřenosť v záblesku je  $2 \text{ cm}^2$  proti  $0,15 \text{ cm}^2$  u jiných rychlých selektorů. Trvání záblesku je asi 1,7  $\mu$ s, dosažené rozlišení 0,08  $\mu$ s/m s druhou 25 m, nebo 0,035  $\mu$ s/m s druhou 60 m. Jiný rotor, vyvinutý v těchže laboratořích bude mít jen jednu skupinu paralelních štěrbin /šířka jedné 0,38 mm/ a dá se očekávat záblesk o trvání 1  $\mu$ s, což dá při dráze 60 m rozlišení asi 0,02  $\mu$ s/m.

Jiný rychlý selektor má poněkud odlišnou konstrukci /9/. Je tvořen dvěma rotory s jedinou štěrbinou. Mezi oběma rotory je takové zpoždění, že záblesk, propuštěný prvním rotem, je propuštěn druhým o dobu t později. Tedy, jestli mezi rotory vzdálenost l, mohou projít oběma rotory pouze neutrony s rychlosťí kolem l/t. Tím získáme záblesk pouze s určitým pásem rychlosťí a přesná selekce uvnitř tohoto pásmo se provede obvyklou průletovou technikou na vzdálenost 100 m. Vymezené pásmo rychlosťí můžeme zvýšit opakovací frekvenci záblesků, aniž porušíme podmínku pro opakovací frekvenci, uvedenou na str. 15. Získáme tedy vysoké rozlišení bez ztrát na intensitě. Výhodou je, že rychlosť je dvojnásobná a výroba rotorek je snazší. Nevýhodou je, že fáze zpoždění musí být přesně řízena.

Protože časové analysátory a detektory jsou v podstatě stejné jak u spektrometrů s mech. selektory, tak u spektrometrů s urychlovači, budou tyto popsaný zvláště, na konci.

## 6.22 Spektrometry s urychlovači.

U tohoto druhu spektrometrů ostřeluji nabité částice z urychlovače ve formě záblesků vhodný terč, čímž se vytvoří krátké záblesky neutronů, které se zpojí ve vodíkovém prostředí a tím získáme záblesky neutronů žádané energie. Záblesk je pak použit stejným způsobem jako u spektrometrů s mech. selektory. Rozdíl proti mech. selektoru je tedy jen ve způsobu vytvoření neutron. záblesků. U typu spektrometrů s urychlovači je tedy modulace intenzity toku neutronů prováděna modulací intenzity toku nabitéch částic na terč. urychlovače tady musí pracovat nespojitým, pulsním způsobem.

Přednosti průletových spektrometrů s urychlovači jsou: urychlovač sám nedává neutrony, ale neutrony se detekují; z toho plyne nízké pozadí, puls neutronů, vytvořený urychlovačem může být velmi krátký, protože elektromagnetické změny jsou snázeji proveditelné než mechanické, výstupní puls je omezen na dobře definovaný časový interval.

### Rozlišení a četnost.

Rozlišení spektrometrů s urychlovači závisí na: trvání záblesku neutronů, době zpomalení, šířce kanálu a na vzdálenosti od moderátoru k detektoru. Zvětšováním vzdálenosti bychom mohli zlepšovat rozlišení, avšak vzdálenost je omezena intenzitou, která klesá nejen se zvětšením vzdálenosti, ale také nutným snížením opakovací frekvence, čímž se čelí přeskokům neutronů do sousedních záblesků.

Doba, potřebná ke zpomalení, závisí na energii neutronů. Tato doba však tvoří malý zlomek doby, potřebné k průletu 1 m a můžeme ji uvažovat jako ekvivalentní neurčenosť v průletové vzdálenosti - rovnou asi 3 - 5 cm pro energie 1 keV - 100 keV.

Pro měření energií nad 0,5 eV se užívá filtrace kadmem, které sniží intenzitu pomalejších neutronů a tím zabrání přeskoku neutronů a můžeme tak zvýšit opakovací frekvenci urychlovače. Resonance je na 175  $\mu$ s/m, tedy doba mezi záblesky musí být větší než asi 150 l., neboli:

$$p = \frac{6700}{l}$$

Jeli však opakovací frekvence urychlovače dána, musí být délka dráhy menší nebo rovna l, která je dána hořejší rovnicí.

Zanedbáme-li ve vztahu pro rozlišení  $\Delta t$  na str. 14 délkovou a časovou neurčenosť, pak můžeme pomocí tak zjednodušeného vztahu získat závislosti mezi četností a délkou dráhy pro dva případy, totiž když je plocha detektoru menší než svazek a naopak:

1. Když je plocha detektoru malá proti ploše svazku neutronů, pak pomocí vztahu pro četnost na str. 15, dostaneme pro častý případ kdy  $\Delta t_1 = \Delta t_2$ :

$$C = \text{const.} \cdot \frac{(\Delta t)^2}{l^2}$$

Podle toho by se zdalo výhodné užívat krátkých vzdáleností/t.j. velká četnost/. To ale přináší nutnost rychlejších elektronických zařízení a větší požadavky. Minimální  $\Delta t$  roste vlivem délkové neurčenosť způsobené zpomalením neutronů/ekviv.neurčenosť/ a délkové neurčenosť polohy v detektoru, ve kterém je neutron detekován. Jeli doba záblesku zanedbatelná proti šířce kanálu, pak

$$C = \text{const.} \cdot \frac{\Delta t}{l^2}$$

a v tomto případě je výhodné užít kratších vzdáleností.

2. Když je svazek dobře kolimován, takže detektor je větší než plocha svazku, pak pro případ, že doba záblesku je rovna šířce kanálu, platí

$$C \sim (\Delta t)^2 \cdot l$$

t.j. výhodné jsou větší vzdálenosti. Jeli trvání záblesku zanedbatelné proti šířce kanálu, potom

C nezávisí na vzdálenosti

a znamená to použít tak velké vzdálenosti, jaká je omezena jinými důvody.

#### Intensita zdroje neutronů.

Intensita neutronů v záblesku je dána proudem a energií svazku nabitych častic a druhem reakce, užité pro získání neutronů.

Proud u nabit. častic v záblesku je intensita neutronů přesně úměrná. Je dosud velmi málo údajů o produkci neutronů v tlustých terčích jako funkci energie dopadajících nab. častic, protože je obtížné provést měření výtěžku. V rozsahu energií pod několik MeV může být celkový výtěžek neutronů určen z úč. průřezu, integrovaného přes energ. spektrum částice, jak je zpomalena v terči. Hlavní činitelé, které určují výtěžek jsou ionos. ztráty a Coulomb. val. Obojí vzniká se zvětšováním Z - výhodnější jsou tedy lehká jádra. Terče, které se dají prakticky použít pro získání neutronů pomocí protonů a deuteronů s energií pod 50 MeV jsou: deuterium, tritium, jejich sloučeniny a beryllium.

Plynného deutéria se dá použít těžká stěny komory by snížily energii častic a tím výtěžek neutronů. Nejvíce se užívá těžkého ledu, nebo deuteria, adsorbovaného na zirkonu, nebo tantalu. Závislost výtěžku neutronů na energii deuteronu probíhá mezi  $E^{1,5}$  a  $E^2$ . Asi nad 1,5 MeV se úč. průřez pro produkci neutronů nemění mnoho s energií. Pro deutérony s malou energií je výborným terčem plyn H<sup>3</sup>, nebo adsorbované na zirkonu. Úč. průřez má resonanci na 124,3 keV, což dá velký počet neutronů při nízkých ostřelovacích energiích. Pro ionty s energií nad několik MeV je asi nejlepším terčem beryllium, vzhledem k svým výborným mechanickým vlastnostem. Deska beryllia se připájí na blok aždi a ten se chladi vodou. Taktéž upravený terč snese výkon svazku několik kW. Asi nad 1,8 MeV by měl výtěžek neutronů růst s  $E^{1,5}$  až  $E^2$ . Při vysokých energiích protonů /350 - 400 MeV/ se získá několik neutronů na jeden dopadající proton /15/.

Velmi výhodné je užití urychlovače elektronů na vysoké energie /15, 16, 17/. Proud v pulsu je u těchto strojů veliký. Nad 10 MeV existuje ve velkém počtu jader obrovská rezonance / $\gamma, n$ /. Z toho se zdá být nejvýhodnější uran, u něhož je rezonance nejvíce - při 11 MeV a zároveň existuje rezonance procesu / $\gamma, f$ /, což zvětšuje počet neutronů. Měření neutronů jako funkce energie elektronu, dopadajícího na tlustý uranový terč, bylo provedeno na 100 MeV betatronu G.E. Asi nad 25 MeV roste výtěžek neutronů s energií lineárně /15/.

Spektrometry s urychlovači můžeme rozdělit ještě dálé podle toho, má-li urychlovač sám svoji podstatou impulsový - nespojitý provoz, t.j. když dává sám o sobě záblesky nabitéch častic, nebo má-li urychlovač spojité, nebo kvasispojité urychlení a je mu modulace vnučena zvenčí, t.j. provoz urychlovače je uměle přerušován. Do první skupiny můžeme zařadit na př. betatron, synchrocyclotron a vf lineár. urychlovač elektronů - i když tento může dávat v principu kvasispojité urychlení a jen z důvodu realisace výkonu řádu MW přecházíme na impulsový provoz /20/. Do druhé skupiny pak patří na př. Van de Graaffův generátor, Cockcroft-Waltonův generátor a cyklotron.

#### 6.221 Spektrometry s nuceně pulsovaným urychlovačem.

##### I. Pulsovaný cyklotron.

Tento druh průletového spektrometru byl prvním selektorem s puls. urychlovačem. Modulace byla provedena tím, že anodové napětí oscilátoru bylo jednocestně usměrněno, nefiltrované napětí 60c/s. Nověji se modulace provádí tak /15/, že u strojů s t.zv. obloukovým zdrojem iontů /20/ je kužel zdroje izolován od ostatních částí zdroje a je udržován na pozitivním potenciálu 2 kV. Tento potenciál zabraňuje emisi zhásnutím oblouku. V okamžiku záblesku je připojeno asi 500 V mezi vlákno a zem a odejmuto napětí na kuželu. Pro záblesky o trvání  $\approx 4 \mu s$  není tento způsob vhodný, i když doba čela i týlu užitého pulsu je menší než  $0,1 \mu s$ . Proud oblouku dosáhne plné hodnoty mezi 0,5 a 1  $\mu s$  sledovaném napětí na 5 Ohm odporu v serii s obloukem/. Je-li trvání pulsu pro oblouk pod 2  $\mu s$ , klesá prudce intensita.

Za počátek časového měření se brává modulační pulz zdroje. Ale mezi modulačním pulzem a výstupem neutronů z moderátoru uplyne jistá doba /zpózdění/, která se skládá z dlouhých časových intervalů - na př. doba pro urychlení iontu, doba na zpomalení atd. Toto časové zpozdění se dá měřit pomocí parafinového vzorku ve svazku. Měření tohoto zpozdění se dá odstranit tím, že za počátek času

j.t.j. spuštění čas. analysátoru / se bere proudový puls na terči. Délky průletových drah bývají od 127 cm do 16 a /15, 22/. Cyklotrony, užité pro účely neutron. spektrometrie měly Ø 90 až 152 cm /21/. Detektory bývají buď proporc. počítáče s BF<sub>3</sub> /obohacené B<sup>10</sup>/, nebo scintilační detektory, tvořené fotonásobičem, pokryté slitinou B<sub>2</sub>O<sub>3</sub> a ZnS. Tyto druhé detektory zmenší neurčenosť průletové vzdálenosti při měřeních s kratšími vzdálenostmi /22/. Použití spektrometrů s cyklotrony, bylo dosud v oblasti pomalých neutronů. Směrem k vyšším energiím je omezen, daný snížením rozliš. schopnosti.

Pro větší rozliš. schopnost by mohla být intensita neutronů v záblesku zvýšena asi 20x tímto způsobem. Provádělo by se obvyklé pulsovaní zdroje iontu a když by svazek dosáhl max. energie, byl by vychýlen na terč během čas. intervalu, který by byl krátký proti době trvání oblouku a době urychlení. Jeli hodnota oblouku krátké proti době urychlení, pak celk. počet částic v pulsu bude o odchýlen na terč během jedné otáčky, t.j. < 0,1 µs. Tímto zvýšením Intensity zdroje a tím, že můžeme v tomto případě použít libovolné opakovací frekvence, mohli bychom získat vyšší četnosti než s urychlovačem, který má sice značně vyšší intensitu, ale je svoji podstatou pulsním urychlovačem a opakovací frekvence je dána jeho charakteristikami /15/.

## 2. Pulsní transformátor.

/a/ V tomto malém přístroji se napěťovým skokem asi 400 kV /15/ urychluje v jedné urychl. mezeře deuterony, které vznikají v iontovém zdroji, podobném Penningovu vakuometru. Deuterony pak dopadají na deuteriový nebo tritiový terč a dají vznik intensivnímu záblesku neutronů. Pulsní transformátor má špič. výkon několik MW, takže proudy mohou být velmi značné. Zdroj řídících pulsů uvádí v činnost zdroj napětí pro iont. zdroj. Ionty se odsvávají sítízkou s potenciálem 15 kV. Současně spouští řídící pulsy thyratron, který vybíjí kondenzátor /nabitý ze zdroje v.n./ do primáru transformátoru. V.v.n. puls za sekundu jde na urychl. elektrodu. Bylo dosaženo 350 kV, šířka脉冲 1 µs, 50 pulsů v sekundě a 10<sup>6</sup> neutronů v záblesku při užití terče Zr - D. Plynový terč by dovolil větší výkon svazku a tím i vše neutronů.

/b/ Jiný puls. zdroj neutronů s puls. transformátorem /19/ dává 10<sup>6</sup> neutronů s toutéž reakcí. Šířka záblesku je pouze 0,02 µs. Zdrojem iontu je výbojová komora 180 cm dlouhá ø 30 cm, opatřená koax. magnetem. Na jednom konci komory je wolframová katoda a na druhém reflektor elektronů z uhlíku. Katoda i reflektor mají potenciál asi - 300 V. Kolmo na výboj /ø 6 mm/ je titanový terč s deuteriem. Na terč se přiloží v.n. vybitím kondenzátoru /340 pF/. Napětí na terči vzroste prudce z 0 na 200 kV. Puls napětí na terči trvá asi 0,05 µs, neutronový záblesk 0,02 µs. Vzhledem ke krátkému trvání záblesku by to byl velmi vhodný zdroj pro průletový spektrometr. Zdokonalen se dosáhne užitím tritio - titanového terče, nebož se tím zvýší opak. frekvence na 10 zábl./sec při 10<sup>8</sup>n/záb.

## 3. Puls. Van de Graaff fó v generátor.

Pro měření úč. průřezu neutronů ve středním rozsahu byla vyvinutá nová metoda /15/. V reakci Li/p,n/Be jsou pomocí 2,5 MeV elektrostatického generátoru získány - užitím tlustého terče, aby se zvýšila intensita - přibližně monochromat. neutróny. Rozlišení zde nezávisí na disperzi energie neutr. svazku, ale je získáno časováním neutronů na danou vzdálenost, pomocí nové - velice rychlé techniky časovací.

Intensita neutr. zdroje je nízká, ale protože zde nejsou neutrony s malou energií, můžeme použít vysokou opakovací frekvenci. Dosažené četnosti jsou stejné jako u jiných typů spektrometrů v rozsahu od 1 do 40 keV. Pozadí od rozptýlených neutronů je malé, protože pro energie protonů do 40 keV nad prahem jsou neutrony vysílány směrem dopředu.

Záblesky neutronů jsou získány zařízením, které vychytává svazek protonů přes štěrbiny, umístěnou před terčem. Napětí na deflektoru má kmitočet 0,5 Mc/s. Při energii 2 MeV trvají výsledné záblesky 0,01  $\mu$ s, nebo i méně. Proudové pulsy na terči jsou po zesílení užity jako referenční pulsy. Časový analysátor je obvod, ve kterém začne růst napětí lineárně s časem při startu neutr. záblesku. Pulsy z detektoru, které se objevují v jednotkách okamžicích jsou tak konvertovány na napětí a k zachycení údajů je pak použito obyčejného 100 kanálového diferenciálního diskriminátoru /analysátor výšky pulsu/.

Detektor, použitý pro střední energie je deska z  $B^{10}$  o  $\varnothing 10$  cm /3,7 g/cm<sup>2</sup>/, Paprsky gamma, ze zachycení neutronů v boru jsou detekovány krystaly NaI. S detektorem ve vzdálenosti 0,8 m od terče, bylo dosaženo rozlišení 0,013  $\mu$ s/m. Tento přístroj je tedy velmi vhodný pro měření středních neutronů a byly jsem objeveny v tomto rozsahu nové energ. hladiny.

#### 4. Pulse. kaaskádní generátor.

U tohoto stroje může být buď modulován zdroj iontu /15/, nebo též užit způsob vychytávání svazku deuterionů na terč z těžkého ledu. Tento způsobem lze získat velmi krátké záblesky. Urychlovač s tímto generátorem by šlo použít stejným způsobem, jako elektrostatického generátoru /ad.3/. Protože tyto stroje mají nižší napětí, bylo by dobré použít terče ze jmenovaných isotopů Be a C.

#### 6.222 Spektrometry s urychlovači, které jsou podstatou pulsů.

##### I. Synchrocyclotron.

Známý 400 MeV synchrocyclotron byl upraven jako impulsový, vysoko intenzivní zdroj neutronů pro průletový spektrometr /15/. Svazek protonů je v patřičném okamžiku vychýlen elektrostatickým deflektorem, který je tvořen dvěma deskami ve vzdálenosti 25 mm. Napětí na deflektor je dle z puls. transformátoru a je asi 125 kV. Svazek je vychýlen asi 2,5 cm nad střední rovinu a dopadá na wolframový terč, který slouží jako zdroj rychlých neutronů. Tyto neutrony jsou zpomaleny nylonovou deskou v hliníkovém pouzdru. Vertikální vychýlení probíhá během jedné otáčky svazku, t.j. asi v 0,05  $\mu$ s.

Pomocí kolimátoru svazku protonů, který odstraňoval protony s přílišnými vertikálními oscilacemi, byl získán krátký neutr. záblesk. Snížení pozadí neutronů bylo dosaženo vypínáním v urychl. napětí po urychl. cyklu. Toto vypínání zlepšilo funkci synchrocyclotronu i při jiných experimentech. Počet neutronů na jeden proton je > 1, což dává intenzitu neutronů řádově  $10^{17}$  n/s v záblesku. Použité detektory jsou velké kusy scintil. plast. látky, které detekují záření gamma, emitované po zachycení neutronů.

## 2. Betatron.

Betatron jako zdroj neutronů vyžaduje jen konstrukci vhodného terče, využívajícího fotoneutronů a obvodu deflektoru, který by vychýlil svazek elektronů na terč v dostatečně krátkém okamžiku. Deflektor zde zmenší poloměr dráhy elektronů a tím svazek dopadne na kostku uranu, který vydá neutrony. Neutrony jsou zpomaleny polystyrenovou potokou /15/.

Šířka pulsu je určena dobou, potřebnou pro shromáždění elektronů na terč. Puls má tvar přibližně Gaussovy křivky. U 100 MeV betatronu byla původně doba na shromáždění 0,35  $\mu$ s, nyní byla snížena na 0,04  $\mu$ s. S delší dobou byla intenzita neutronů  $3 \cdot 10^4$  n/s. S deflekčí elektronů o trvání 0,1  $\mu$ s je  $10^{15}$  n/sec. Protože je na terč vychýlen celý svazek, nezávisí střední tok neutronů na šířce záblesku, což je veliká výhoda pro vysoké rozlišení.

Puls paprsků X, který vystupuje z terče spolu s neutrony, spouští časový analysátor. Užívané jsou dvě polohy detektoru - 6,9 m a 19,6 m. Při vzdálenosti 20 m se užívá skupiny 52 proporc. počítací BF3 o délce 30 cm a Ø 19 mm. Rozlišení je 0,02  $\mu$ s/n. Při vzdálenosti 7 m se používá scintil. detektoru, který registruje záření gamma od zachycených neutronů. Aby se odstranilo rozptýlené záření gamma, je použito koincidenčního uspořádání. Detektor je podrobněji popsán dále.

## 3. Lineární výrychlovač elektronů.

Užití lin. výrychlovače elektronů přináší pro spektrometr zvláštní char. vlastnosti na rozdíl od jiných typů výrychlovačů. Jedna výhoda je, že z výrychlovače vystupuje svazek elektronů a to dovoluje umístit terč tak, aby bylo co nejlepší přizpůsobení danému experimentu. Na př. je možno použít jednoho terče pro několik průletových zařízení současně, nebo můžeme vyvést svazek elektronů k terči, umístěnému uvnitř nějaké nepohyblivé soustavy /reaktor/. Největší výhodou je možnost užít detektory gamma pro studie zachycených, nebo přímo jako detektory neutronů. Intenzita pozadí gamma mezi pulsy, zavlněná výrychlovačem, je prakticky nulová, na rozdíl od cyklotronu a spektrometrů s mechanickými selektory. Tím je umožněno měřit záření gamma ze zachycených s velikým rozlišením.

Nevýhodou puls. zdroje fotoneutronů jsou veliké nároky na elektron. zařízení, které se nesmí mohutným zábleskem záření gamma zahlitit ani při nejkratších zpožděních. To udává horní energ. hranici. V případě detektoru s konstantní účinností je četnost úměrná  $\sqrt{E}$ . Tedy s daným zdrojem lze provést měření na vyšších energiích s delší dráhou a tím se sníží zablokování obvodu, což umírnuje omezení max. energie. Jinou nevýhodou jsou větší rozdíly vzorku - na rozdíl od spektrometrů s mechanickými selektory a tím je zkoumané látky třeba gramová množství. Je však možné - a to je pro nás cenné - provádět měření při vyšších energiích neutronů s vysokým rozlišením. Mimoto jsou výsledky získány v poměrně krátkém čase.

### /a/ Lin. výrychlovač s dutinovými resonátory.

Původně pracoval tento výrychlovač /15/ s energií 5 MeV a proudem 30 mA v pulsu asi 2  $\mu$ s širokém. Elektrony dopadaly na zlatý terč a brzdné záření dávalo neutrony na beryliovém terči. Výtěžek byl asi  $3 \cdot 10^{12}$  n/sec. Výrychlovač byl nedávno pozměněn, aby dával energii 10 MeV při proudu 100 mA. Neutronů v záblesku by mělo být asi  $10^{14}$  n/s. Neutrony jsou zpomaleny parafinovým blokem a tříděny 500 kanálovým čas. analysátorem s křemenným zpožd. vedením o šířce kanálů 2  $\mu$ s. Analy-

sátor časuje urychlovač a spouští elektronovou trysku. Spolu s uvedeným analýzátorem se používá obrazovkové paměti, která slouží jako časový expander k půdlení intervalu 5 nebo 10  $\mu$ s na padesát dflů, čímž dostaneme trvání detektoru pulsu 0,1  $\mu$ s. Detektor může být umístěn ve vzdálenosti 5 až 15 m od zdroje.

Detektor je podobný jednomu z užívaných u cyklotronu. Krystaly NaI detekují záření gamma, emitované vzorkem po zachycení neutronu. U tohoto spektrometru je patrná potřeba většího počtu kanálů. Počet kanálů je omezen elektrickou délkou zpožďovacího vedení.

#### /b/ Lin. urychlovač s nosnou vlnou.

Spektrometr s lin. urychlovačem s nosnou vlnou, který je v provozu v A.E.R.E. v Harwellu překrývá střední rozsah energií eneutronů, který nás zajímá [23]. Při prvních pracích byl užíván urychlovač pro energii 3,2 MeV, který byl později nahrazen výkonnějším strojem na 15 MeV.

Urychlovač 3,2 MeV z Zdrojem neutronů bylo kovové berylium o rozměrech 38x15x15 cm. Výtěžek byl asi  $10^9$  n/sec. Neutrony byly zpomaleny v terči a emitovány isotropně. Jako detektoru bylo užito proporc. počítadla o délce 50 cm a 0,6 cm, plněného BF<sub>3</sub> o tlaku 60 cm Hg (obohacený B<sup>10</sup> na 96%) [12]. Časový analýzátor měl 32 kanálů. S dráhou 10m byla četnost asi 4 imp./min/us šířky kanálu. Elektronové impulsy i čas. kanály měly trvání 2  $\mu$ s a rozlišení přístroje nad 50 eV bylo v té době nejlepší. Intensita zdroje nebyla dostatečná pro stanovení úč. průřezu štěpení, pro měření rozptýl. neutronů a pro měření výtěžku gamma ze zachycení. Bylo zapotřebí vše neutronů, užších záblesků i kanálů a možnost provádět současně několik experimentů. Spektrometr v tomto údobí je popsán v [16,12,18].

Urychlovač 15 MeV : Aby se využilo vysokého výtěžku reakce  $\gamma, n$  v uranu, byl navržen a zkonstruován nový urychlovač na 15 MeV [17]. Byl též zdokonalen časový analýzátor. Průtok v pulsu je asi 25 mA. Obvykle se užívá 400 pulsů/séc. Urychlovač je dvoustupňový stroj zpětnovazebního typu [24], napájený magnetronem o 3000 Mc/s a impulsovém výkonu 1,8 MW. Pro snadnou montáž a údržbu je žebrovany vlnovod z 316 buněk montován na šesti tříkolečkových valnících, které běhají po kolejnicích. Modulátor dává impulsy 40-50 KV o trvání 2  $\mu$ s. Elektrony přímo osádají vzduchem chlazený terč z přírodního uranu, který je uzavřený v hlinisku. Vysílané neutrony se zpomalují v parafinu. Urychlovač a terč jsou v betonovém stěně a terč je pozorovatelný ze šesti možných detekčních poloh, jejichž vzdálosti jsou od 3 do 55 m. Dráhy nad 7m mají evakuované trubice, aby se změnil rozptyl na vzduchu a měl samostatnou kolimaci. Úhrnný úč. průřez se měří pomocí borového NaI detektoru ve vzdálenosti 20m. Studie zachycení se provádí ve vzdálosti 11,5 m a rozptylové práce ve vzdálenosti 12 m. Bylo dosaženo rozlišení 10% při energii nad několika set keV.

Doplňkem k tomuto spektrometru je modulační, který dává elektron. pulsy o trvání 0,2  $\mu$ s a analýzátor o šířce kanálu 0,2  $\mu$ s. Toto rozšiřuje rozsah spektrometru nad asi 100 keV pro kvalitativní studie průřezů a dovolí provádět analýzu rezonancí na několika keV, mimo obvyklých několika set eV.

Bude zapotřebí použít účinnějšího detektoru. U větších krystalů NaI nelze patřičně snížit pozadí v důsledku příomenného K<sup>40</sup>. Proto se zkouší tekuté scintilátory. Lepší než zdokonalený detektor, je intenzivnější zdroj. Je konstruován urychlovač pro špičk. průtok 1 A při energii elektronů 25 MeV. To zvýší mohutnost

zdroje asi 200x. Zlepšme-li současně účinnost detektoru 5x, zvýší se celkový zisk 1000x, pro tutéž četnost při 10x delší dráze a 10x lepším rozlišením [23].

Aby bylo možno měřit tepelné spektrum (t.zn. nízká opakovací frekvence pro zabránění "přeskoku") současně s vyššími energiami (t.zn. vysoká opakovací frekvence pro dosažení velké četnosti), je projektována nová výstupní trubice, v níž by puls. mag. deflektor vybral 1 puls na každých 8, ke zvláštnímu terči, zatím co zbylé pulsy by ostřelovaly hlavní terč. Opakovací frekvence pak budou 50 a 350 c/s při základní opakovací frekvenci 400 c/s.

### 6.23 Spektrometry, založené na měření doby zpomalení.

Tyto spektrometry [25] lze též řadit k časovému rozkladu, protože vytvářejí monoenergetické neutrony se provádí na základě doby nutné pro zpomalení neutronů pružnými srážkami.

Neutrony, které se zpomalují pružnými srážkami v prostředí s hmot. číslem  $M \gg 1$  se seskupují podle rychlosti do poměrně šírké skupiny, která přechází k nižší rychlosti s rostoucí dobou zpomalení. Vpustíme-li do moderátoru rychlé neutrony krátkodobými periodickými záblesky a jestli detektor citlivý na krátký okamžik  $\Delta t$ , zpožděný vzhledem k záblesku o intervalu  $t$ , pak budou vybrány přibližně monoenergetické neutrony, jejichž energie je určena dobou zpomalení  $t \sim M/v$ .

Výhody této metody proti obvyklé průletové jsou:  
Intensita je větší o 3-4 rády, tedy používá se jednoduchý zdroj neutronů s ionizací trubicí na několik set kV.  
Snadné měření úč. průřezu zachyceného,  
Pozadí od gamma záření je nízké.

Jako moderátoru bylo užito olověněho  $Pb$  snadno dostupného a má malý průřez pro zachycení v hranolu  $2 \times 2 \times 2,3 \text{ m}^3$ . Zdrojem neutronů byl zirkon-tritiový terč uvnitř hranolu, ostřelováný deutéry, které byly urychleny na 300 keV. Ionový zdroj - typu Penningova - byl napájen napěťovými pulsy o trvání 1-3  $\mu\text{s}$ . Opakovací frekvence 50 - 1250 c/s. Pro zkrácení záblesku byl svažek deuteronů výchylován el. polem mezi dvěma deskami. Puls na terči pak trval 0,5 - 2  $\mu\text{s}$ . Proud neutronů byl asi  $3 \cdot 10^{11} \text{n/s}$ . Zpomalené neutróny byly měřeny proporce počítání v tlaku  $80 \text{ cm}^{-3} \text{BF}_3$  a též ionizační komorou, plněnou argonem a vyloženou tenkými vrstvami  $\text{LiF}$  nebo  $\text{B}_2\text{O}_3$ .

Uvedená metoda je použitelná pro neutrónovou spektrometrii v energetickém rozsahu od 1 eV do asi 10 keV. V rozsahu energií od několika eV do stovek eV je rozlišení energie asi 30 % a mimo tento rozsah je horší. Vzhledem ke svému rozlišení nemůže tato metoda konkurovat průletové metodě, ale může k ní být užitečným doplňkem, neboť dovoluje provést měření průběhu celk. průřezu a oddeleně pro reakci  $(n, \gamma)$  a pro reakci s emisí nabitéch částic.

### 6.24 Časové analysátory pro průletové spektrometry.

Různé druhy užívaných analysátorů můžeme rozdělit podle druhu působení do čtyřech skupin: 1. Čas. analysátory se styčnými kanály, 2. Čas. analysátory v maticovém uspořádání, 3. Čas. analys. užívající paměť a 4. Čas. analys. s konverzí času na amplitudu.

1) Lepotka s - zařízení 6.241. Časové analysátory se stýčnými kanály nastranou, tj. zad.  
 2) časová řada řady bránky, která dle RF předávacího signálu v krytě je vložena  
 optického typu je celá činnost spektrometru odvozena od t. zv. hlavního zdroje impulsu, který dává několik řad napěťových impulsu. Nejkratší čas interval určuje základní řadu, která je synchronována krystalovým oscilátorem. Ostatní řady jsou získány pomocí dělení frekvence. Tyto přístroje můžeme rozdělit do 2 skup.:  
 1) /a/ Puls z hlavního zdroje může zahájit proces celého sledu kanálů, které se už dále udržují samy v činnosti /32/. Rf dle impulsu z hlavního zdroje projde zpoždovačem obvodu a spustí v prvním kanálu obvod, který vytvoří napěťový impuls, jehož trvání je dánovo vstavěným zpožděním a odpovídá šířce kanálu /brankový impuls/. Tento impuls pak postupuje na brankový obvod. Přijde-li během této periody citlivost /bránky/ je otevřena /puls z detektoru na branku/, uvede bránku v činnost obvod, který dá impuls do registrátoru. Při skončení brankového impulsu je vytvořen krátký impuls, který slouží jako spouštěcí impuls pro druhý kanál /druhá bránka/. Tento spouštěcí impuls bude v dalším označen jako "předávací impuls". Takto spouštějí kanály jeden po druhém. Počítadla na výstupu každého kanálu udávají četnost na kanálu. Řada je tvořena tříprázdna a z nich počítadla. Analýzatory zde mají 102 kanály /10x10/. Podobný číslicový je tři a mezi sebou, základu, a výsledkem /b/ základu lindy se hledí, zahraniční možnosti otevření všechny než jedné bránky současně /17/. Hlavní zdroj impulsů pak vytváří měnu hlavní řadu, ještě dvě řady "zastavovacích" impulsu /dále stop-impulzy/, které zavírají střídavě sudé a liché bránky. Tedy máme sudé a liché stop-impulzy. První bránka se otevře start-impulsem, který je zpožděn o dobu proti záblesku neutronů. Tato bránka se uzavře za dobu  $\Delta t_2$  lichým stop-impulsem. Při zavření dá bránka předávací impuls, který otevře druhou bránku. Zase po čase  $\Delta t_2$  zavře sudý stop-impuls tuto bránku, při čemž se otevře třetí bránka atd. /Kada bránka impulsu jede na první mřížku bránky elektronky. Impulsy z detektoru jdou na třetí mřížky všechny bránky elektronky/. Tm vznikne impuls anodového proudu v třetí elektronce, na kterou příšel detekční impuls, během jejího otevření. V Harwellském zařízení měla hlavní imp. řada periodu 2 μs. Ostatní řady byly odvozeny pomocí dělení frekvence /multivibrátory/. Zpoždění t, bylo dosaženo zpoždovačem, který byl tvořen třemi v řadě zapojenými multivibrátory s jednou stabilní a jednou nezávislou stavou. Bránek je 100 a daje se použít buď v jedné řadě, nebo ve dvou nezávislých řadách po 50 kanálech. Ke kontrole chodu je pro každou řadu branek celkový čítač. Šířka kanálu je nastavitelná na 2 nebo 10 μs a doba zpoždění t mezi 0 a 2990 μs. Opakovací frekvence neutronů záblesku je buď 200, nebo 400 imp/sec.

Podobné zařízení měly původně spektrometry s cyklotronem /26/. Rf dle oscilátor byl spuštěn v nulovém čase, když svazek dopadl na terč. Zpožděný signál se rozbehl systém 32 čas. kanálů. Na výstupu každého kanálu byly dva registrátory pro údaje bez vzorku a se vzorkem. Zpoždění i šířka kanálu byly proměnné. Jeden

#### 6.242 Časové analysátory v maticovém uspořádání, pokrač. II/1

/a/ Když je četnost tak nízká, že je pravděpodobnější detekce jen jednoho pulsu na záblesk, než několika, může analysátor rychlosť pouze jednoho neutronu na záblesk. U mechanického selektoru propustí zdroj světla, štěrbinou selektoru, světlo na fotonku, nebo je na ose selektoru upěvněno zrcadélko a na zvláštním držáku, zdroj světla a fotonásobič. Tm je vytvořen puls v nulovém čase, říkáme mu "nulový

úměrné energ. rozsahu/. Při výstupu ze zpoždění jsou referenční pulsy ještě jednou zpožděny /1/100 paměťového zpoždění/, t.j.  $0,2 \mu s$  /, kdežto pulsy z detektoru tímto dodatečným zpožděním nepochází/. Obsahání pokračuje do té doby, kdy refer. pulsy /neustále zvlášť zpoždované/ setkají s prvními signály /t.j. těmi, které přísluší nejvyšší energii/. Při tom setkání je dán puls na maticový analýzátor a zařízený signál je odebrán. Obsahání pokračuje dále, až je dosaženo setkání se signálem, příslušným neutronu nižší energie; pak je dán puls na matici a je odebrán druhý signál. Tento pochod pokračuje až je celý systém upraven a celý popsaný prac. interval může začít znova.

#### 6.244 Čas. analysátory s konverzí času na amplitudu.

Protože u rychlostních spektrometrů s Van de Graaffovým, nebo kaskádním generátorem je použito pro dosažení rozumné četnosti krátké průletové dráhy, je doba průletu - zvláště při měření středních energií, pro které je tento typ spektrometrů velmi vhodný - velmi krátká /řádově stovky  $\mu s$ /. V tomto případě /15/ a v případě měření rychlých neutronů /27/ se užívá zařízení, které měří interval mezi dvěma rychle po sobě následujícími pulsy na puls, jehož výška je úměrná intervalu mezi pulsy.

/a/ Počáteční puls, který získáme z vývihy volněho napětí, spustí rychlý diskriminátor, jehož výstupní puls odstartuje nabíjení kapacity konstantním proudem. Nabíjení se ukončí pulsem, který odpovídá příchodu neutronu. Pro vlastní analýzu je pak použito obyčejného diferenciálního diskriminátoru /analýzátor výšky pulsů/.

/b/ Jiný, vtipný způsob přeměny času na amplitudu /31/ spočívá v tom, že se na dvě řady mřížky normálně uzavřené elektronky přivedou pulsy, které odpovídají okamžíku startu a příchodu neutronu. Obě pulsy jsou uniformovány v elektronce, která má v anodě zpoždovací vedení. Doba zpoždění a tím i trvání uniformovaných pulsu se řídí energet. rozsahem a průletovou vzdáleností. Protože jsou oba pulsy pozitivní, otevřou zmíněnou elektronku, pokud se částečně překrývají. Náboj, který projde elektronkou, je úměrný době překrývání obou pulsu. Max. náboj projde, není-li mezi pulsy zpoždění a neprojde žádný proud, je-li zpoždění mezi pulsy větší než  $2t$  /kde  $2t$  je trvání unif. pulsu a  $t$  = doba zpožd. vedení v anodě/. Proud, který prošel elektronkou, je integrován na vstupu následující elektronky, čímž se mění na pilové napětí a na výstupu dostáváme pulsy, jejichž výška je úměrná době průletu.

#### 6.25 Detektory neutronů pro průletovou metodu.

Ideální počítač pro účely průletové spektrometrie má mít malou reakční dobu, velikou účinnost, necitlivost pro záření gamma a rychlé neutróny a velikou účinnou plochu. U žádného z užívaných detektorů nejsou tyto požadavky splněny všechny. Můžeme si provést rozdělení detektorů na : 1. plynové počítače a 2. scintilační počítače. První skupina zahrnuje jak jednoduché trubice, tak skupiny těchto trubic. Ve druhé skupině jsou detektory záření gamma, které pochází z radiátoru, umístěného mimo vlastní detektor a detektory, v nichž je neutron zpomalen, zachycen a emitované záření hned detekováno.

### 8.251 Plynové detektory.

/a/ Ve většině dřívějších prací byly užívány proporce, počítáče a ionis. komory, plněné  $\text{BF}_3$ . Počítáč má proti komoře krátké pulsy a potřebné elektronické zesilní střídání menší; komora však dává "uniformovanější" pulsy a může pracovat při větším tlaku bez enormě vysokého napětí. Užívání počítáče měly průměr 5-6 cm, délku 10-50 cm, tlak 15-60 cm Hg, obyčejně obohaceno isotopem  $\text{B}^{10}$ . Nevhodou těchto počítáčů je jejich délka /řádově 10 cm/, která je nutná pro slušnou účinnost. Místo detekce neutronu je pak někde v této oblasti a tato neurčenost průletové vzdálenosti přispívala největší měrou k šířce rozlišení.

/b/ Jinou nevhodou obyčejných trubic je neurčenost jejich reaktívnej doby /řádově jednotky  $\mu\text{s}$ /, která klade možnost rozlišení spektrometru, protože šířky kanálů dnes užívaných jsou hodně menší. Proto se nyní užívají skupiny většího množství /~100/ počítáčů o malém průměru, jejichž časová neurčenost je asi 0,2  $\mu\text{s}$ . Pro mech. selektor /13/, popsáný na str.17, byla užita skupina 7 trubic Ø 20 mm, délka 20 cm, plněné obohaceným  $\text{BF}_3$  při tlaku 600 mmHg. Mech. selektor na str.18 /28,7,8/ užívá skupinu 128 proporc. počítáčů s  $\text{BF}_3$ , uložených ve společné nádobě: Průměr trubic je 22 mm a síla ocel. stěny 0,25 mm. Délka je 23 cm. Vlákno má průměr 0,15 mm. Citlivý povrch je celkem  $1600 \text{ cm}^2$ . Nádoba je plněna obohaceným /96%/ $\text{B}^{10}\text{F}_3$  o tlaku 115 cm Hg. Potřebné napětí je 7 kV, činitel zesilení je 1000. Výhodou je necitlivost vůči záření gamma, nevhodou ještě přílišná hloubka /s jejím snížením klesá účinnost/. Počitivě konstruovaná komora má čas. neurčenost také asi 0,2  $\mu\text{s}$ . Uvedené detektory lze tedy užívat pro šířku kanálu asi 0,2  $\mu\text{s}$ .

### 8.252 Scintilační detektory.

1. Užitím detekce záření gamma, které pochází ze zachycení neutronu v adsorbátoru, mohou být zhodoveny velmi rychlé detektory, které navíc lze udělat podél dráhy krátké. Organické scintilační látky pro detekci záření gamma dávají reaktívnu dobu detektorů  $10^{-8}$  sec. Protože dnes užívané šířky kanálů jsou značně delší, nevhodný tento typ detektoru podstatnou časovou neurčenost. Nevhoda je v tom, že jsou to v podstatě detektory záření gamma a proto musíme zajistit, aby detekované záření pocházelo jen z adsorbátoru neutronu. Jinou nevhodou je, že počet kvant gamma z radiátora je funkce energie. Použijeme-li tlustého boročitého radiátora, je energie emitovaného záření gamma jen 462 keV a toto se dle těžko detektovat za přítomnosti jakéhokoli pozadí gamma. Detektor tohoto typu byl užit u spektrometru s betatronem. Záření gamma je detekováno /30/ párem velkých počítáčů ve tvaru prstence. Vnitřní otvor je 10 cm, vnější průměr 20 cm, délka 15 cm. Jsou naplněny roztokem toluen - terphenylu a každý prstenec má čtyři fotonásobiče, jejichž osy jsou kolmo na svazek neutronů. Neutrony procházejí otvorem prvého prstence, pak radiátorem a poté otvorem druhého prstence. Pro měření propustnosti je radiátorem tlustá vrstva  $\text{Sm}_2\text{O}_3$  v hliníkovém obalu. Oba počítáče jsou zapojeny v koincidenci.

2. Detektory, v nichž je neutron zpomalen, zachycen a emitované záření gamma, je v tomto detektoru hned registrováno, můžeme si dále rozdělit.

/a/ Scintilační detektor, který je velmi účinný pro detekci neutronů, je detektor s tekutou scintilační látkou /28/. Emitované záření je pak detekováno v témže roztoku a tím je dosaženo vysoké účinnosti. Detekční prostředí je tvo-

## 7. ZÁVĚR

Z celého přehledu různých souběžných měření v rozsahu středních energií /t.j. od 1 keV do 100 keV/ je nejvhodnější průletový spektrometr s puls. elektrostatickým /nebo kaskádním/ generátorem, jehož stručný popis je nastr. 22., ve spojení s metodou monoenerget. svazku. Toto zařízení pak má i optimální ekonomii, protože jeden a týž generátor je použitý pro oba druhy měření. Užitím terčů z V<sup>51</sup>, C<sup>14</sup>, nebo Be<sup>10</sup> by postačila poměrně nízká energie protonů a tím i nízké napětí generátoru /1,5 MV, 700 kV, 350 kV/.

Impulsy protonů o tak malé energii by snad bylo možno získat jejich průletem dutinovým rezonátorem, impulsově buzený, čiž by se zmenšily rozměry zařízení a klesla jeho cena. Výsledné impulsy neutronů by pak byly zpracovány průletovou metodou. Téhož zařízení by pak také bylo možno užít k měření metodou monoenerget. svazku tímto způsobem: Napěťové impulsy by se amplitudově modulovaly - od největšího napětí k nejnižšímu /prah reakce/. Během každého impulu by byly produkovány monoenergetické neutrony. Energie každé skupiny by však postupně klesala. Pro detekci by se použilo téhož čas. analyzátoru, jako u průletové metody, s počtem kanálů rovným počtu napěťových impulů v intervalu od max. napětí k prahovému. Každý kanál by pak registroval přechod neutronů odpovídající energie. Lze na to pohlížet jako na metodu monoenerget. svazku, ale probíhající periodicky celý energet. rozsah.

Literatura.

1. Kaplan I., Nuclear Physics, Addison - Wesley Publishing Comp. 1955.
2. Vlasov N. A., Nějtrony, Gos. izdat. těchn.-teoret. literatury, Moskva 1955.
3. Bonner T. W. Van de Graaff and Cockcroft-Walton accelerators for fast neutron cross-section measurements, Zprávy Žen. konference, Č.P/578.
4. Hibdon, Langsdorf, Hollahd, Neutron transmission cross-section in the kilovolt region, Phys. Rev. 85, 595, 1952.
5. Jay K.E.B., Atomic Energy Research at Harwell, Butterworths Sc. Public. 1955.
6. Rae, Bowey, A Scintillation Detector for Neutrons of Intermediate Energy, Proc. Phys. Soc., A, LXVII, 1073 /1953/.
7. Hughes D. J., Pile Neutron Research, Cambridge, Mass. 1953.
8. Hughes D. J., Neutron Velocity Selectors used at Reactors, Zen.konf.P/576.
9. Egelstaff P. A., A Review of Pile Neutron Spectrometer Work at Harwell, Zenev. konfer., P / 787.
10. Abov J. G., Neutronnyi kristaličeskii spektrometr s izognutym monokristallom kvarca, Sessija Akademii nauk SSSR, Izd.Akad. nauk SSSR, Moskva 1955.
11. Hughes D. J., Neutron Optics, New York 1954.
12. Morrison A. W., Wiblin E.R., The Total Neutron Cross-Sections of Cobalt, Silver, Iodine, Aluminium, Nickel and Gallium between 1ev and 5keV, Proc. of the Roy. Soc., A, 215, No 1121 /1952/.
13. Mostovoi V. J., Pevzner, Citovič, Mechaničeskii selektor nějtronov, Zenev. konfer., P/640.
14. Vladimírskij, Radkevič, Sokolovskij, Nějtronnyi spektrometr s mechaničeskim preryvatëlem, Zenev. konfer., P/641.
15. Havens W.W. jr., Pulsed Accelerator Slow Neutron Velocity Spectrometers, Zenev. konfer., P/574.
16. Morrison, Wiblin, The Harwell Time - of-Flight Neutron Spectrometer, Nature 167 , 346, /1951/.
17. Trier, Hammerton, Wolfendale, Ein nach der Laufzeitmethode arbeitendes Neutronenspektrometer, Philips Tech. Rdsch., 16, 97-114 /1954/.
18. Goulding, Hammerton, Kelliher, Morrison, Wiblin, The Development of a Neutron Spectrometer for the Intermediate Energies, Proc. Inst. of Electr. Eng., Part II, 101,81/1954/.

- 19. Martina, Ashby, Pulsed Neutron Source, Rev. Sci. Instr. 26, 878 /1955/.
- 20. Grinberg A. P., Metody uskorenija zarjažených častic, Moskva 1950.
- 21. Thornton, Boyer, Peterson, Cyclotrons designed for precision fast-Neutron Cross-Section Measurements, Znev. konfer., P/584.
- 22. Nikitin, Galanina, Ignat'ev, Okorokov, Suchoruckin, Izměřenie polnych nějtronnych sečeníj izotopov urana-233, urana-235, plutonija-239 metodem migajuščego pučka, Znev. konfer., str.106, Moskva 1955.
- 23. Wiblin E. R., Neutron Spectrometers based on Pulsed Sources, Zen.k. P/421.
- 24. Bareford, Kelliher, Ein Linearer Elektronenbeschleuniger für 15 Millionen Elektronvolt, Philips Techn. Rdsch., 15, 269, 7/1954/.
- 25. Bergman, Isakov, Murin, Šapiro, Štránič, Kazarnovskij, Nějtronnyj spektrometr po vremeni zamedlenija nějtronov v svince, Znev. konf., P/842.
- 26. Higinbotham W. A., Time-of-flight Instrumentation for Neutron Spectrometers, Znev. konfer., P/806.
- 27. Granberg L., Time-of-Flight Techniques applied to Fast Neutron Measurements, Znev. konfer., P/577.
- 28. Bollinger L. M., Recent Advances in Neutron Detection, Zen.kon., P/580.
- 29. Gunst, Connor, Bayard, Thin Scintillators of ZnS in Fused B<sub>2</sub>O<sub>3</sub> for Thermal Neutron Detection, Rev. Sc. Instr. 26, 894, /1955/.
- 30. Albert, Gaerttner, In, Al Detector for Study of Low-Energy Neutron Resonances with a Velocity Selector, Rev. Sc. Instr. 26, 572, /1955/.
- 31. Neilson, Janes, Time-of-Flight Spectrometer for Fast Neutrons, Rev. Sc. Instr. 26, 1018, /1955/.
- 32. Elmore, Sands, Electronics Experimental Techniques, McGraw 1949.
- 33. Batchelor, Aves, Skyrme, Helium-3 Filled Proportional Counter for Neutron Spectroscopy, Rev. Sci. Instr. 26, 1037 /1955/.



O práci J. Kroupy "Neutronové spektrometry".

V této práci autor podává přehled měřicích zařízení pro neutronovou spektrometrii se zřetelcem k oboru středních energií neutronů.

Úvodem jsou jen stručně popsány některé typy interakce neutronů s jádry - pružný a nepružný rozptyl neutronů na jádrech a reakce ( $n,\gamma$ ). Dále je popsán záchyt neutronů při vyšších energiích, ~~Zde je vysvětlen, že se jedná o základní principy a metody, které jsou používány v moderních spektrometrech~~. Z odůvodnění, které zde autor podává, neplyne však preferování neelastického rozptylu neutronů při vyšších energiích. Po probrání zásad transmisičních měření se autor zabývá měřením účinných průřezů monoenergetickými neutrony. Další část je věnována metodám rychlostní selekce - krystalovému monochromátoru a metodám založeným na měření doby letu neutronů. Jsou zde popsány různé typy pomalých a rychlých mechanických selektorů a vyloženy zásady práce s pulsovanými urychlovači. Mezi uváděnými vztahy pro četnost impulsů v časovém kanále je nejasné oprávnění použití vzorce na stránce 15 pro spektrum jak Maxwellovského typu, tak typu

$dE/dt$ , i úvahy na str. 20, týkající se četnosti impulsů v kanále v závislosti na měřicí basi pro různý poměr šířky neutronového záblesku a šířky časového kanálu. Obšírná a zavěcená část je věnována časovým analyzátorům, v nichž je podrobně rozebrána funkce některých moderních typů. Závěrečná část pojednává o scintilačních a ionizačních detektorech neutronů se zřetelem k požadavkům metody měření doby letu. Na konec autor navrhuje spojit metody časové selekce s metodou monochromatického svazku. Tato v podstatě správná myšlenka by však při realisaci pravdě odobně narazila na značné těžkosti spojené s požadavkem amplitudové modulace lineárního urychlovače.

Práce J. Kroupy je dobrým přehledem experimentálních metod neutronové spektrometrie a autor v ní prokázal, že je se současným stavem této disciplíny dobře obeznámen.

V Praze dne 19. června 1956.

J. Štrba